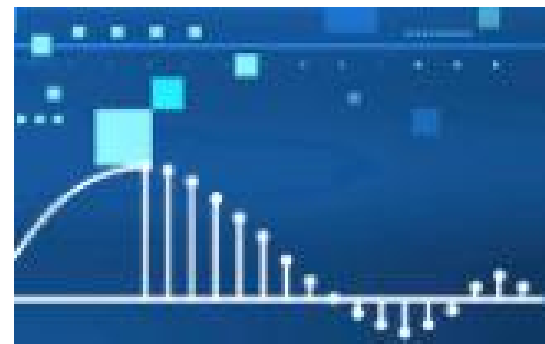




北京航空航天大学  
BEIHANG UNIVERSITY



# 数字信号处理

授课教师：孙国良

电子信息工程学院

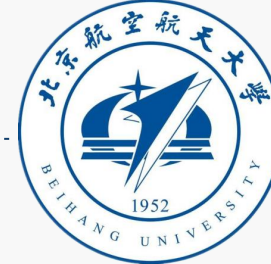
# 第五章

## Contents

# 数字滤波器设计 与实现

德才兼备 知行合一

DECAIJIANBEIZHIXINGHEYIHEYI



—

滤波器设计基础



二

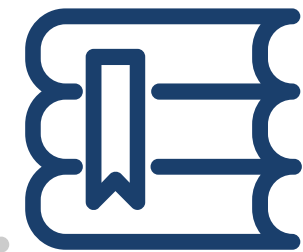
IIR滤波器设计



三

FIR滤波器设计

# FIR 滤波器设计



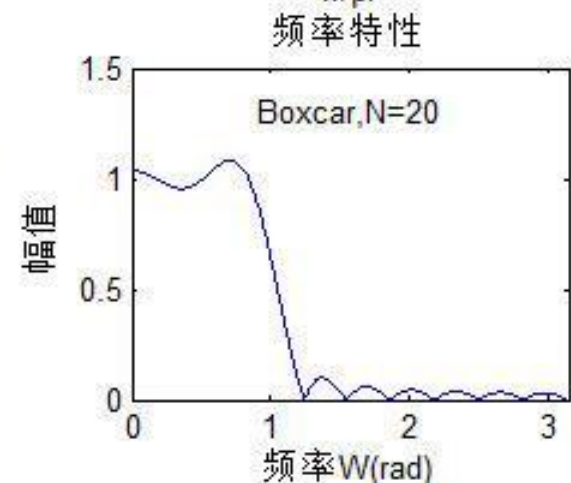
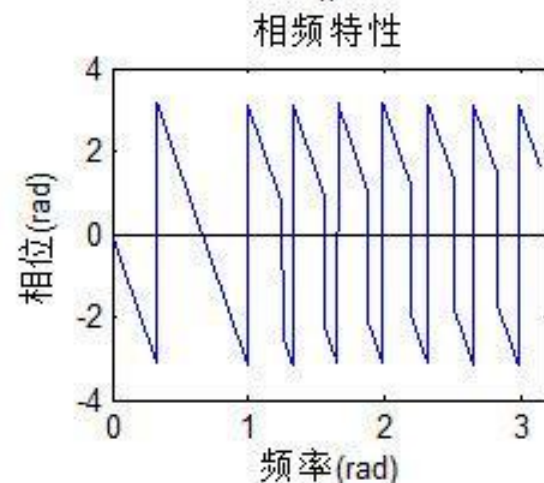
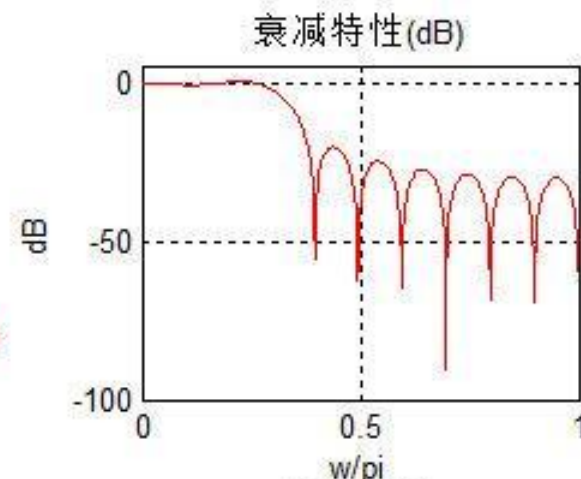
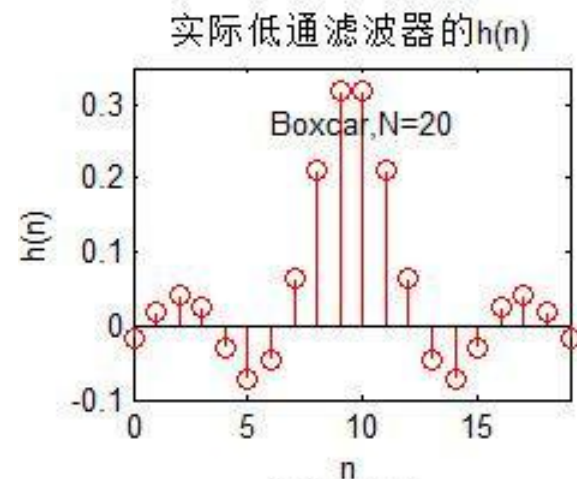
滤波器设计基础

IIR滤波器设计

FIR滤波器设计

- ◆  $h(n)$  为有限长序列；
- ◆  $H(z)$  在有限  $z$  平面上无极点；
- ◆ 实现结构以前馈环节为主。
- ◆ 主要思路寻找冲激响应

$$H(z) = \frac{Y(z)}{X(z)} = \sum_{m=0}^M b_m z^{-m}$$





# 一、FIR滤波器最优化准则

- **IIR**滤波器设计法对**FIR**设计不适用
  - 因为**IIR**滤波器是利用有理分式的系统函数，而**FIR**滤波器的系统函数只是多项式
- **FIR**滤波器主要有两种最优化准则
  - 均方误差最小准则
  - 最大误差最小化准则
- 此处我们主要介绍均方误差最小准则下的滤波器设计。

# 均方误差最小准则

## ■ 误差能量最小

- 若用  $H_d(e^{j\omega})$  表示要求的频率响应,
- 用  $H(e^{j\omega})$  表示设计得到的滤波器频率响应,
- 以  $E(e^{j\omega})$  表示频率响应误差, 即

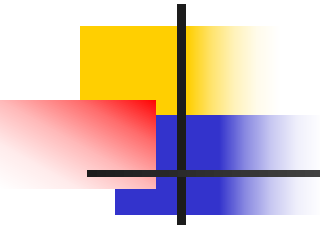
$$E(e^{j\omega}) = H_d(e^{j\omega}) - H(e^{j\omega})$$

- 则均方误差为:

$$e^2 = \frac{1}{2\pi} \int_{-\pi}^{\pi} |E(e^{j\omega})|^2 d\omega = \frac{1}{2\pi} \int_{-\pi}^{\pi} |H_d(e^{j\omega}) - H(e^{j\omega})|^2 d\omega$$

## ■ 设计目的

- 选择一组  $h(n) = \text{IDTFT}[H(e^{j\omega})]$ , 使均方误差最小。



$$e^2 = \frac{1}{2\pi} \int_{-\pi}^{\pi} |E(e^{j\omega})|^2 d\omega = \frac{1}{2\pi} \int_{-\pi}^{\pi} |H_d(e^{j\omega}) - H(e^{j\omega})|^2 d\omega$$

■ 由于:

$$H_d(e^{j\omega}) = \sum_{n=-\infty}^{\infty} h_d(n) e^{-j\omega n} \quad H(e^{j\omega}) = \sum_{n=0}^{N-1} h(n) e^{-j\omega n}$$

$$E(e^{j\omega}) = H_d(e^{j\omega}) - H(e^{j\omega}) = \sum_{n=0}^{N-1} [h_d(n) - h(n)] e^{-j\omega n} + \sum_{\text{其他 } n} h_d(n) e^{-j\omega n}$$

■ 按照帕塞瓦公式有:

$$e^2 = \frac{1}{2\pi} \int_{-\pi}^{\pi} |E(e^{j\omega})|^2 d\omega = \sum_{n=0}^{N-1} |h_d(n) - h(n)|^2 + \sum_{\text{其他 } n} |h_d(n)|^2$$

■ 要使 $e^2$ 最小, 必须使第一项求和最小, 即:

$$|h_d(n) - h(n)| = 0, 0 \leq n \leq N-1 \quad h(n) = \begin{cases} h_d(n), & 0 \leq n \leq N-1 \\ 0, & \text{其他 } n \end{cases}$$

■ 结论: 矩形窗设计法满足最小均方误差准则。

## 二、窗函数设计法

- 用有限长单位冲激响应 **$h(n)$** 的滤波器来逼近理想滤波器频率响应。

$$H(e^{j\omega}) = \sum_{n=0}^{N-1} h(n)e^{-j\omega n} \longrightarrow H_d(e^{j\omega})$$

$$H_d(n) = \frac{1}{2\pi} \int_{-\pi}^{\pi} H_d(e^{j\omega}) e^{j\omega n} d\omega$$

$$h(n) = h_d(n)w(n)$$

- 指标是在频域提出的
- 设计是在时域进行的

# 理想低通滤波器

- 我们以一个截止频率为  $\omega_c$  的线性相位的理想低通滤波器为例来加以讨论。
- 设滤波器的群延时为  $\alpha$  ,即:

$$H_d(e^{j\omega}) = \begin{cases} e^{-j\omega\alpha} & -\omega_c \leq \omega \leq \omega_c \\ 0 & \omega_c < \omega \leq \pi, -\pi < \omega < -\omega_c \end{cases}$$

$$h_d(n) = \frac{1}{2\pi} \int_{-\omega_c}^{\omega_c} e^{-j\omega\alpha} e^{j\omega n} d\omega = \frac{\omega_c}{\pi} \frac{\sin[\omega_c(n - \alpha)]}{\omega_c(n - \alpha)}$$



# 线性相位 与 加窗

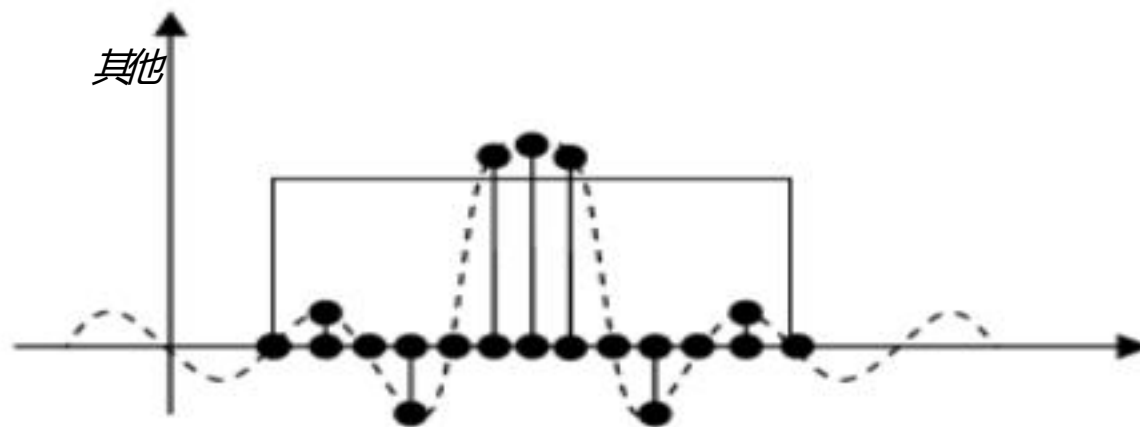
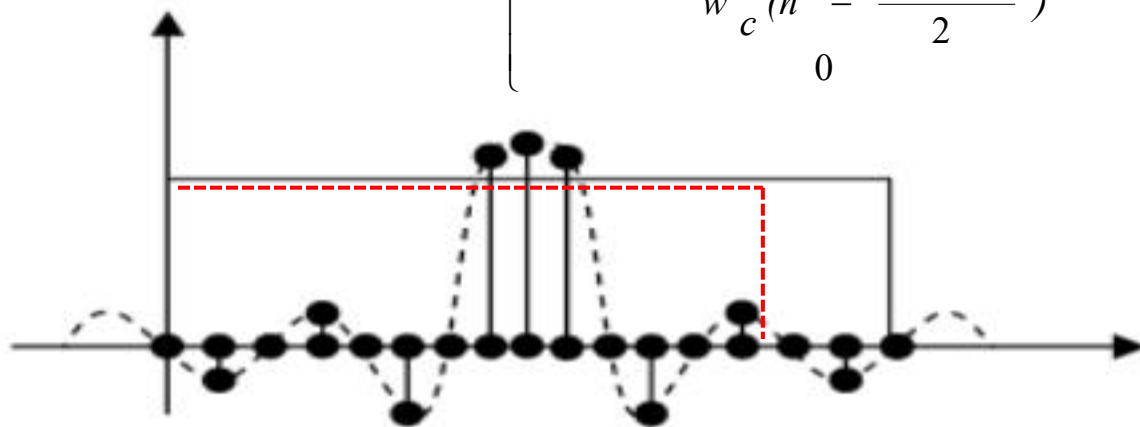
$$h(n) = h_d(n)w(n)$$

- $h_d(n)$ 是中心点在 $\alpha$ 的偶对称无限长非因果序列，要得到有限长的 $h(n)$ ，一种最简单的办法就是取矩形窗 $R_N(n)$ ，即：

$$w(n) = R_N(n)$$

- 若有线性相位约束，窗函数必须保证所截取 $h(n)$ 是对称的。

$$h(n) = \begin{cases} \frac{w_c}{\pi} \frac{\sin [w_c (n - \frac{N-1}{2})]}{w_c (n - \frac{N-1}{2})} & 0 \leq n \leq N-1 \\ 0 & \text{其他} \end{cases}$$



# 加窗对滤波器频率响应的影响

- 窗函数的频率特性为:

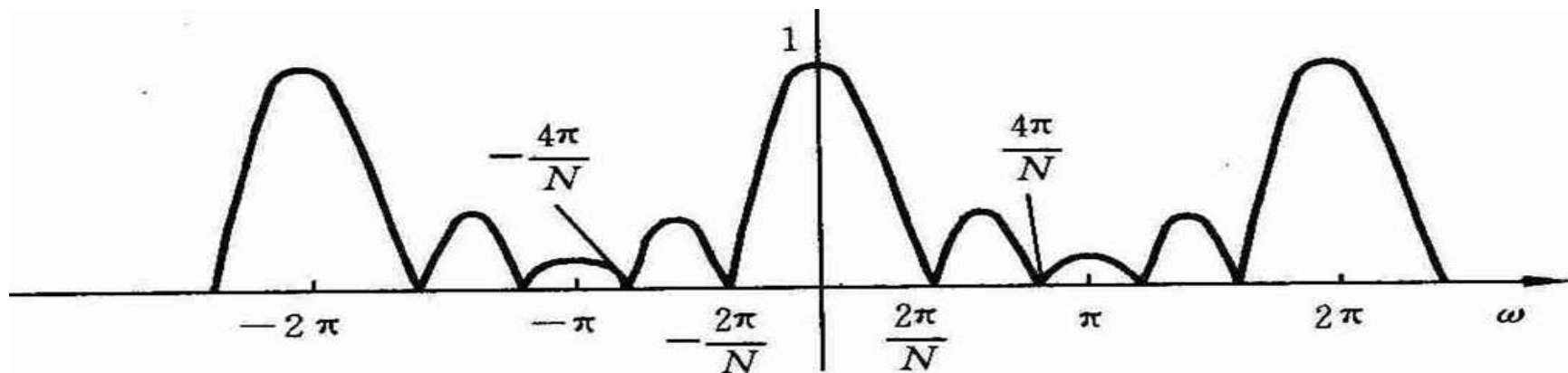
$$W(e^{j\omega}) = \sum_{n=0}^{N-1} w(n) e^{-j\omega n}$$

- 对矩形窗, 则有:

$$W_R(e^{j\omega}) = \sum_{n=0}^{N-1} e^{-j\omega n} = e^{-j\omega(\frac{N-1}{2})} \frac{\sin(\frac{\omega N}{2})}{\sin(\frac{\omega}{2})}$$

- 表示成幅度函数与相位函数:

$$W_R(e^{j\omega}) = W_R(\omega) e^{-j(\frac{N-1}{2})\omega}$$



# 矩形窗所设计滤波器的频率特性

如果将理想频率响应也写成:  $H_d(e^{j\omega}) = H_d(\omega)e^{-j(\frac{N-1}{2})\omega}$

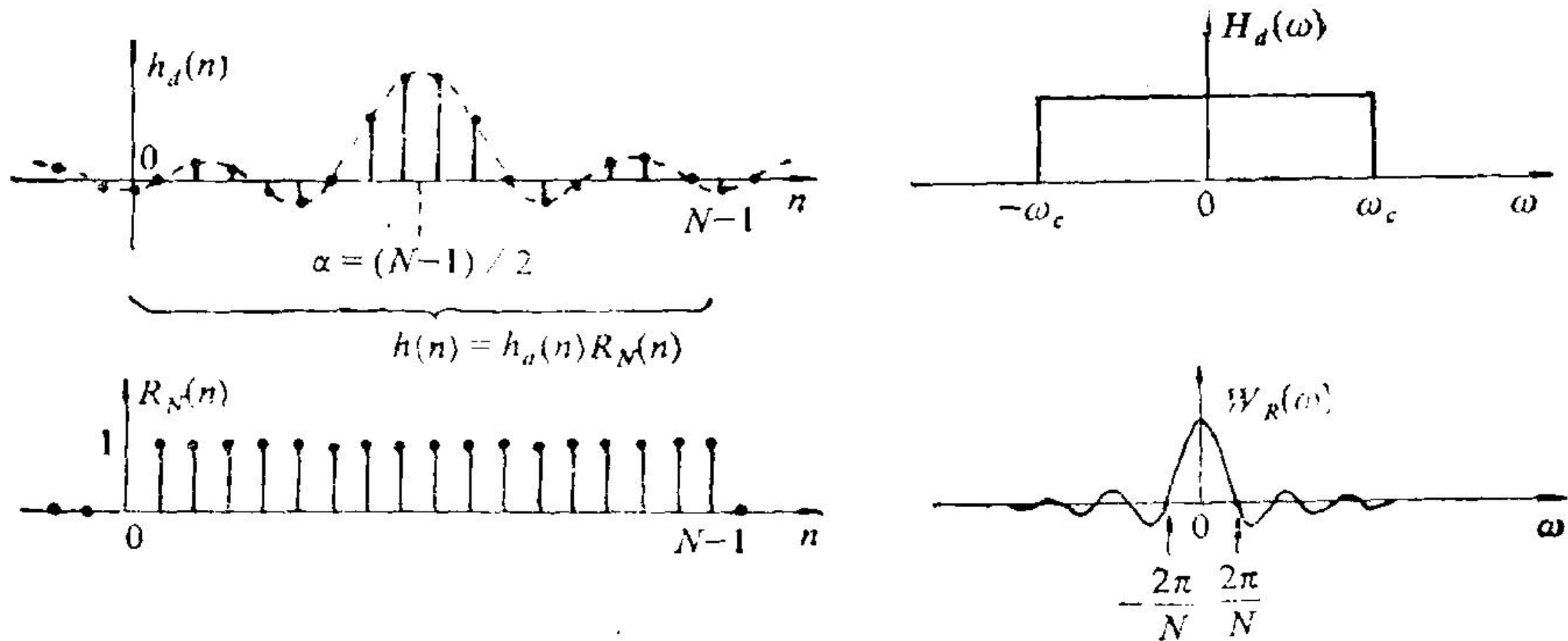
其中:  $H_d(\omega) = \begin{cases} 1 & |\omega| < \omega_c \\ 0 & \text{其他} \end{cases}$

因此, FIR滤波器的频率响应  $H(e^{j\omega})$  为:

$$\begin{aligned} H(e^{j\omega}) &= \frac{1}{2\pi} \int_{-\pi}^{\pi} H_d(\theta) e^{-j(\frac{N-1}{2})\theta} W_R(\omega - \theta) e^{-j(\frac{N-1}{2})(\omega - \theta)} d\theta \\ &= e^{-j(\frac{N-1}{2})\omega} * \frac{1}{2\pi} \int_{-\pi}^{\pi} H_d(\theta) W_R(\omega - \theta) d\theta \end{aligned}$$

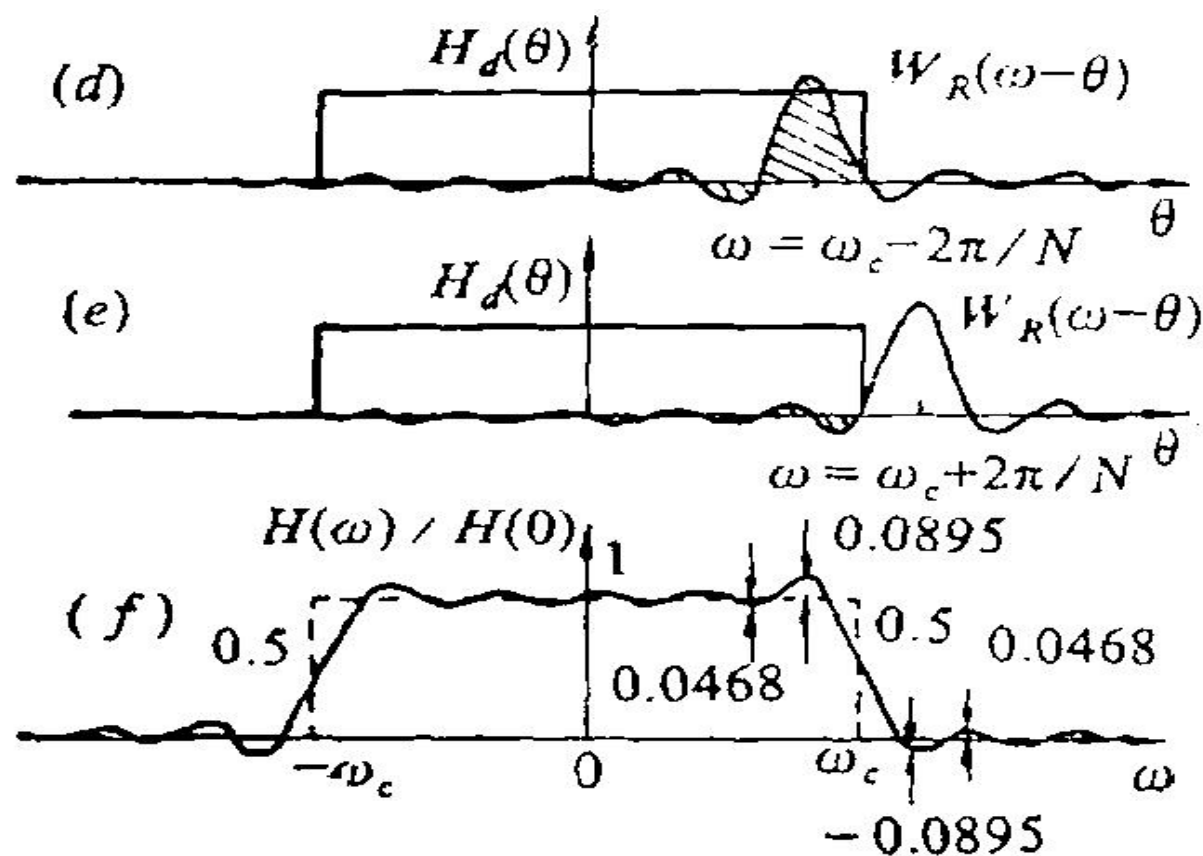
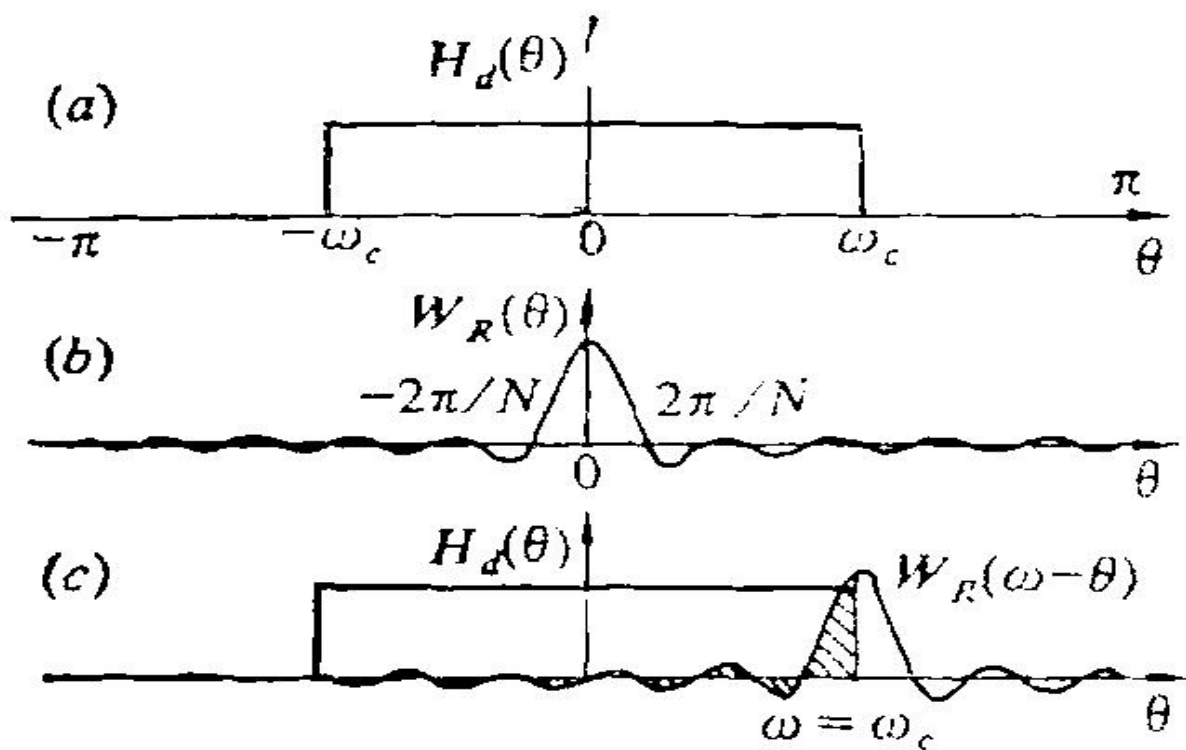
显然, FIR滤波器的频率响应也是线性相位的。

# $H_d(n)$ 及 $W(n)$ 的频谱特性



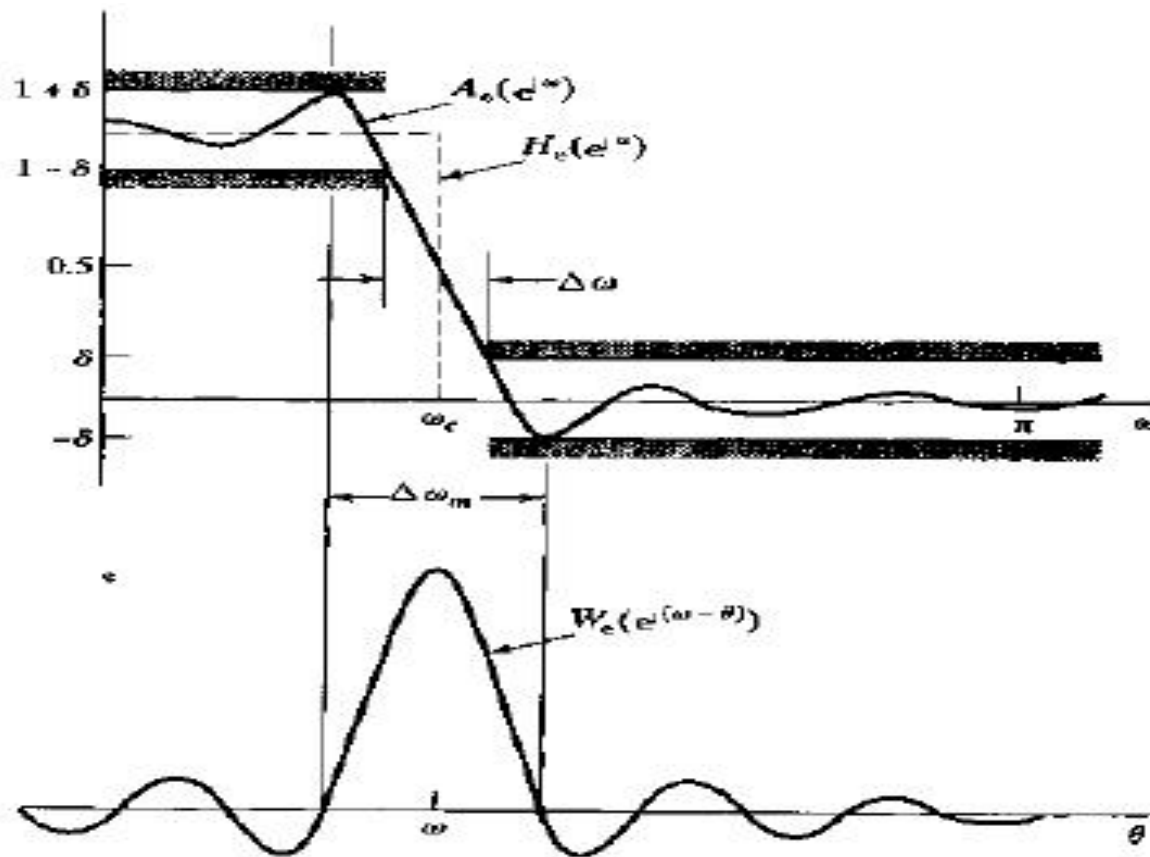
# FIR数字滤波器的幅度函数

$$H(\omega) = \frac{1}{2\pi} \int_{-\pi}^{\pi} H_d(\theta) W_R(\omega - \theta) d\theta$$



# 总结:

- (1)理想幅度特性不连续处边沿加宽, 形成一个过渡带, “**过渡带的宽度**”等于窗的频率响应的主瓣宽度 (非**3db**带宽), **矩形窗设计的滤波器过渡带最窄**。
- (2)在截止频率两边  $\omega = \omega_c \pm \frac{2\pi}{N}$  出现最大的肩峰值, 肩峰的两侧形成起伏振荡, 其振荡幅度取决于旁瓣的相对面积;
- (3)改变矩形窗的长度**N**只能改变窗谱的主瓣宽度、滤波器过渡带宽, 不能改变主瓣与旁瓣的相对比例。最大肩峰总是**8.95%**, 这种现象称为**吉布斯(Gibbs)效应**。造成所设计的滤波器通带起伏不均匀且波纹过大, 阻带衰减不够小, 不能满足某些工程要求。



$$W_R(\omega) = \frac{\sin(\frac{N\omega}{2})}{\sin(\frac{\omega}{2})} \approx \frac{\sin(\frac{N\omega}{2})}{\frac{\omega}{2}} = N \frac{\sin x}{x}$$



## （二）、窗的改进及各种常用窗

- 矩形窗截断造成肩峰为**8.95%**，则阻带最小衰减为 **-21db**，在工程上远远不够。为了加大阻带衰减，需要改善窗函数。通常希望满足两项要求：
  - 窗谱主瓣尽可能地窄，以获得较陡的过渡带；
  - 减少窗谱的最大旁瓣的相对面积，使肩峰减小，增大阻带的衰减。
- 在滤波器阶数给定的情况下，**两项要求难以同时满足**
  - 通常增加主瓣宽度（牺牲过渡带宽）以换取对旁瓣的抑制，得到平坦的通带幅度响应和较小的阻带波纹。
  - 窗函数在边沿处( **$n=0$** 和 **$n=N-1$** 附近)比矩形窗变化要平滑而缓慢，窗边沿不再陡峭，则高频分量减小，阻带衰减增大。此时的主瓣宽度却比矩形窗的要宽，造成滤波器幅度函数过渡带的加宽。

# 常用的窗函数

## ■ 1、矩形窗

$$w(n) = R_N(n)$$

$$W_R(e^{jw}) = W_R(w) e^{j(\frac{N-1}{2})w}$$

## ■ 2、三角形（**Bartlett**）窗

$$w(n) = \begin{cases} \frac{2n}{N-1}, 0 \leq n \leq \frac{N-1}{2} \\ 2 - \frac{2n}{N-1}, \frac{N-1}{2} < n \leq N-1 \end{cases}$$

$$W(e^{jw}) = \frac{2}{N-1} \left[ \frac{\sin\left[\left(\frac{N-1}{4}\right)w\right]}{\sin\left(\frac{w}{2}\right)} \right]^2 e^{-j\left(\frac{N-1}{2}\right)w} \approx \frac{2}{N} \left[ \frac{\sin\left(\frac{Nw}{4}\right)}{\sin\left(\frac{w}{2}\right)} \right]^2 e^{-j\left(\frac{N-1}{2}\right)w}$$

■ “ $\approx$ ” 在  $N \gg 1$  时成立；主瓣宽度为  $8\pi / M$ , 阻带最小衰减**25db**



### 3、汉宁（Hanning）窗（升余弦窗）

$$w(n) = \frac{1}{2} \left[ 1 - \cos \left( \frac{2\pi n}{N-1} \right) \right] R_N(n)$$

$$\cos n\omega_0 = \frac{e^{jn\omega_0} + e^{-jn\omega_0}}{2}$$

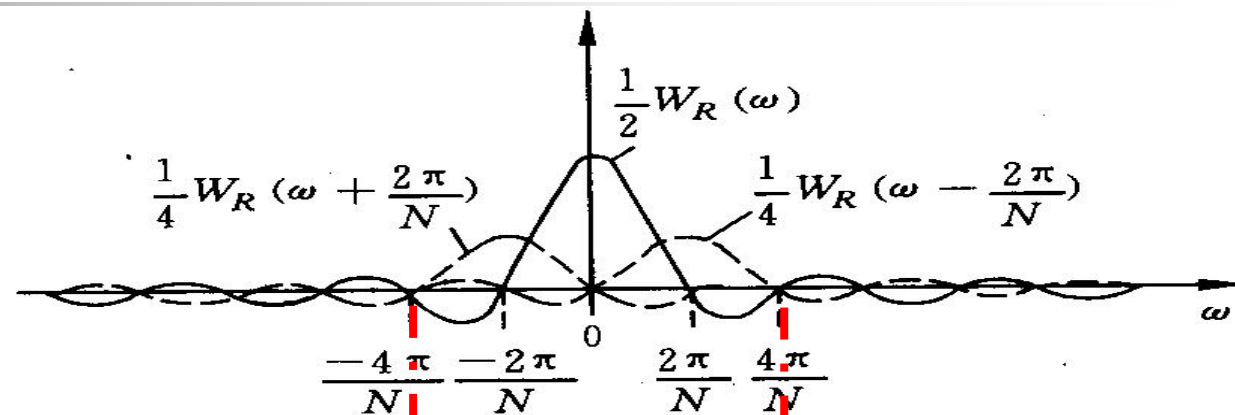
$$e^{j\omega_0 n} x(n) \Leftrightarrow X(e^{j(\omega - \omega_0)})$$

$$W_R(e^{j\omega}) = W_R(\omega) e^{-j(\frac{N-1}{2})\omega}$$

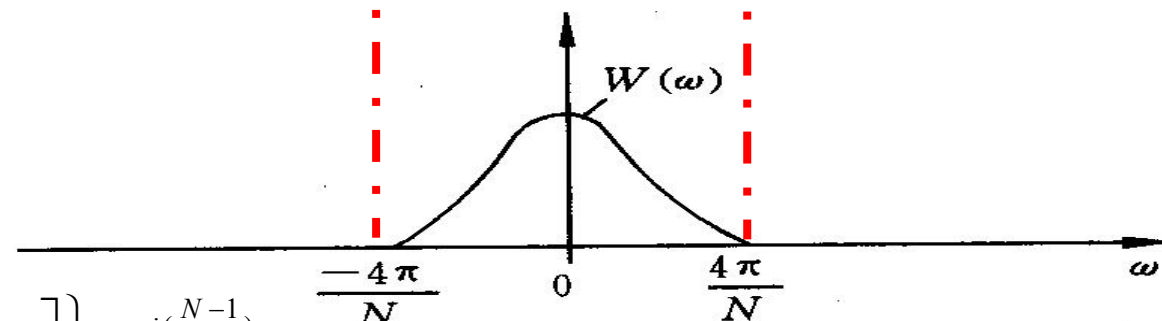
$$W(e^{j\omega}) = DTFT[w(n)]$$

$$= \left\{ 0.5W_R(\omega) + 0.25 \left[ W_R\left(\omega - \frac{2\pi}{N-1}\right) + W_R\left(\omega + \frac{2\pi}{N-1}\right) \right] \right\} e^{-j(\frac{N-1}{2})\omega}$$

$$= W(\omega) e^{-j(\frac{N-1}{2})\omega}$$



(a)



(b)

主瓣宽度比矩形窗的主瓣宽度增加一倍，即为  $8\pi/N$ ，但是阻带最小衰减变为**44db**。

## 4、海明（Hamming）窗（改进的升余弦窗）

- 对升余弦改进，可得到旁瓣更小的效果：

$$w(n) = \left[ 0.54 - 0.46 \cos \left( \frac{2\pi n}{N-1} \right) \right] R_R(n)$$

$$W(w) = 0.54 W_R(w) + 0.23 \left[ W_R \left( w - \frac{2\pi}{N-1} \right) + W_R \left( w + \frac{2\pi}{N-1} \right) \right]$$
$$\approx 0.54 W_R(w) + 0.23 \left[ W_R \left( w - \frac{2\pi}{N} \right) + W_R \left( w + \frac{2\pi}{N} \right) \right], (\text{当 } N \gg 1)$$

- **99.963%**的能量集中在窗谱的主瓣内，主瓣宽度相同为  $8\pi/N$ ，但旁瓣幅度更小，旁瓣峰值小于主瓣峰值的**1%**，此时阻带最小衰减为**53db**。

## 5、布拉克曼窗 (Blackman)

- 为抑制旁瓣，可再加上余弦的二次谐波分量，

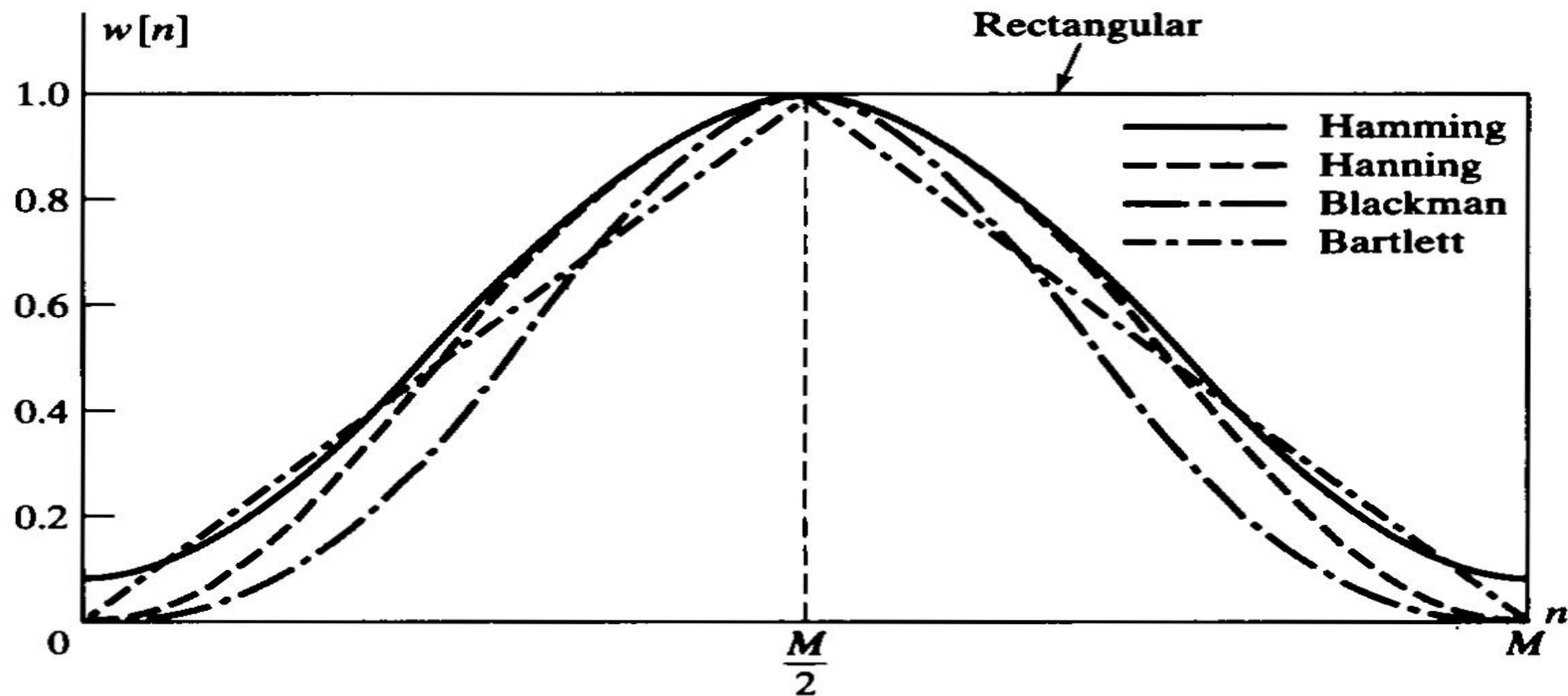
$$w(n) = \left[ 0.42 - 0.5 \cos\left(\frac{2\pi n}{N-1}\right) + 0.08 \cos\left(\frac{4\pi n}{N-1}\right) \right] R_N(n)$$

$$W(w) = 0.42 W_R(w)$$

$$+ 0.25 \left[ W_R\left(w - \frac{2\pi}{N-1}\right) + W_R\left(w + \frac{2\pi}{N-1}\right) \right] + 0.04 \left[ W_R\left(w - \frac{4\pi}{N-1}\right) + W_R\left(w + \frac{4\pi}{N-1}\right) \right]$$

- 主瓣宽度为矩形窗谱主瓣宽度的三倍，即为  $\frac{12\pi}{N}$ ，此时，**阻带最小衰减为74db**。

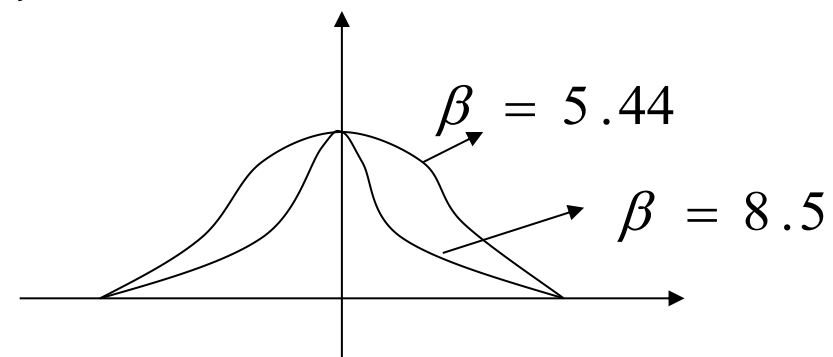
# 五种窗函数时域波形



## 6、凯泽窗 (Kaiser)

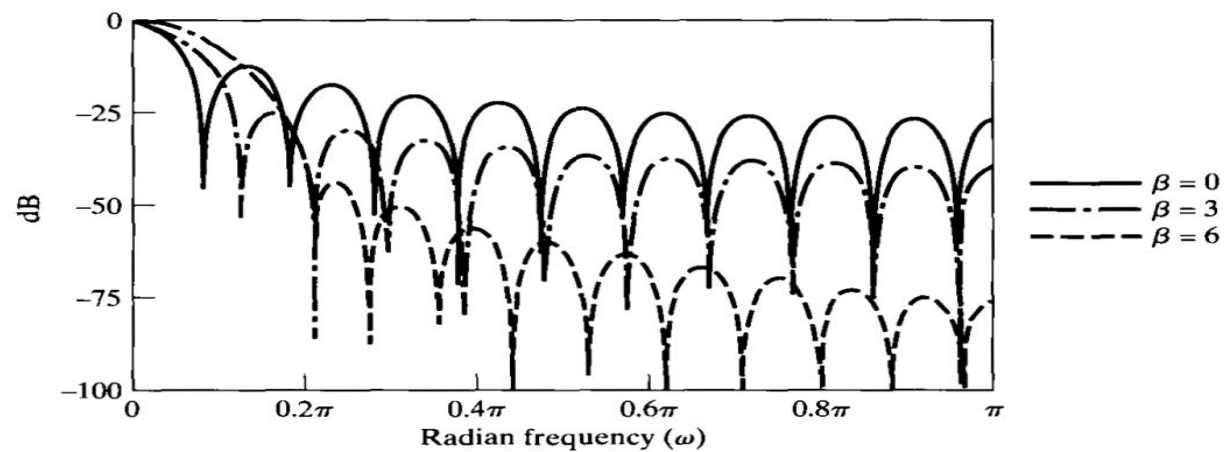
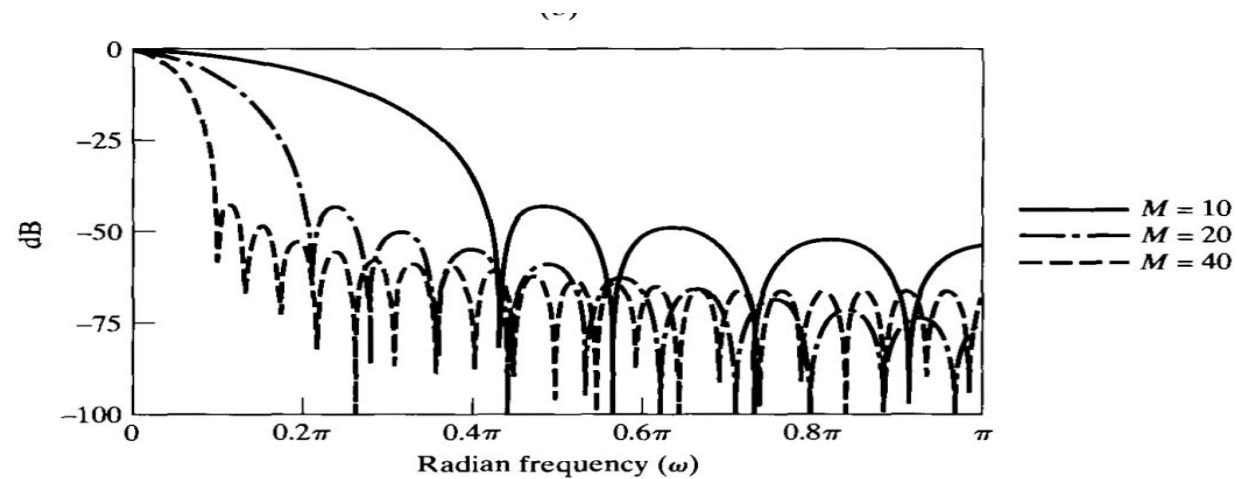
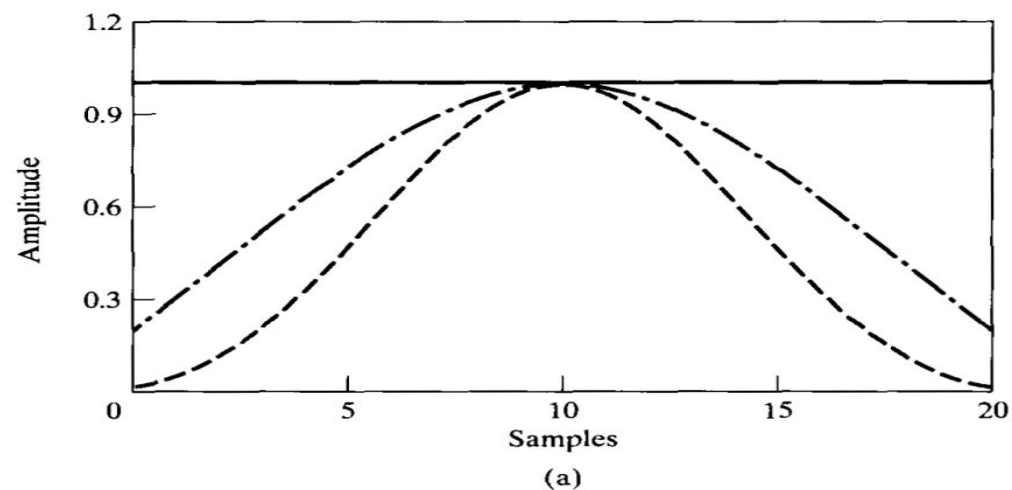
- 一种适应性强的窗，其窗函数的表示式为

$$w(n) = \frac{I_0 \left( \beta \sqrt{1 - \left( 1 - \frac{2n}{N-1} \right)^2} \right)}{I_0(\beta)}$$



- $I_0(\cdot)$ 是第一类变形零阶贝塞尔函数， $\beta$ 是一个可自由选择的参数，它可以同时调整主瓣宽度与旁瓣电平
  - $\beta$  越大，则窗越尖锐，而频谱的旁瓣相对越小，但主瓣宽度也相应增加。
  - 主瓣宽度同时也可以由窗口长度调节

# 凯泽窗





# 凯泽窗性能一览表

$\beta$	过渡带	阻带最小衰减/dB
2.120	$3.00 \pi / N$	-30
3.384	$4.46 \pi / N$	-40
4.538	$5.86 \pi / N$	-50
5.658	$7.24 \pi / N$	-60
6.764	$8.64 \pi / N$	-70
7.865	$10.0 \pi / N$	-80
8.960	$11.4 \pi / N$	-90
10.056	$12.8 \pi / N$	-100

凯泽窗函数以 $n = (N-1) / 2$ 为对称中心呈偶对称，两端不为零。

# 六种窗函数基本参数的比较

Type of Window	Peak Side-Lobe Amplitude (Relative)	Approximate Width of Main Lobe	Peak Approximation Error, $20 \log_{10} \delta$ (dB)	Equivalent Kaiser Window, $\beta$	Transition Width of Equivalent Kaiser Window
Rectangular	-13	$4\pi/(M+1)$	-21	0	$1.81\pi/M$
Bartlett	-25	$8\pi/M$	-25	1.33	$2.37\pi/M$
Hanning	-31	$8\pi/M$	-44	3.86	$5.01\pi/M$
Hamming	-41	$8\pi/M$	-53	4.86	$6.27\pi/M$
Blackman	-57	$12\pi/M$	-74	7.04	$9.19\pi/M$



# 凯泽窗经验设计法

- 给定过渡带宽  $\Delta w$ ，阻带衰减  $\delta_2 = -20 \log_{10} \alpha_2 (dB)$ ，则可求得凯泽窗**FIR**滤波器的阶数**N** (**M=N-1**)和形状参数  $\beta$ ，即

$$M = 2\alpha = \frac{\delta_2 - 7.95}{2.286 \Delta w}$$

$$\beta = \begin{cases} 0.1102 (\delta_2 - 8.7), & \delta_2 \geq 50 \text{ dB} \\ 0.5842 (\delta_2 - 21)^{0.4} + 0.07886 (\delta_2 - 21), & 21 \text{ dB} < \delta_2 < 50 \text{ dB} \\ 0, & \delta_2 \leq 21 \text{ dB} \end{cases}$$

- 最小阻带衰减只由窗形状决定，不受**N**的影响
- 而过渡带的宽度则随窗宽**N**的增加而减小。



## (三)、窗函数法的设计步骤

- 1) 给定所要求的频率响应函数  $H_d(e^{j\omega})$  ；
- 2) 求理想单位冲激响应:  $h_d(n) = IDFT [H_d(e^{j\omega})]$
- 3) 由过渡带宽及阻带最小衰减的要求, 选定窗的形状参数及N的大小, 一般N要通过几次试探而最后确定;
- 4) 求得所设计的FIR滤波器的单位抽样响应
$$h(n) = h_d(n)w(n), n = 0, 1, \dots, N-1$$
- 5) 求  $H(e^{j\omega}) = DTFT [h(n)]$  , 检验是否满足设计要求, 否则需重新设计。

# 窗函数设计举例

- 利用窗函数法设计滤波器，满足指标：

$$1 - \delta_1 \leq |H_{lp}(e^{j\omega})| \leq 1 + \delta_1, \quad |\omega| < \omega_p$$

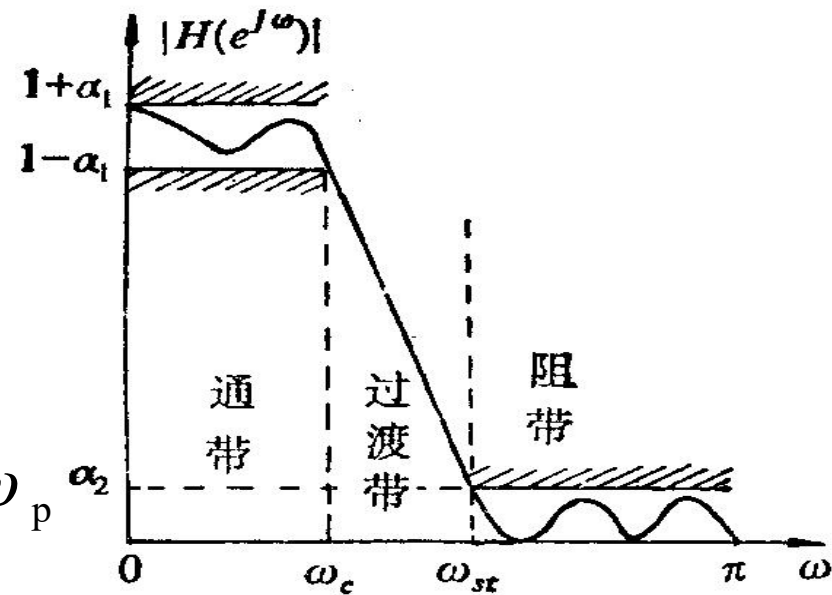
$$|H_{lp}(e^{j\omega})| \leq \delta_2, \quad \omega_s < |\omega| \leq \pi$$

$$\omega_p = 0.4\pi, \omega_s = 0.6\pi, \delta_1 = 0.01, \delta_2 = 0.001$$

- 解：由于窗函数设计法的通带最大衰减与阻带最小衰减相同。为达到题目预期指标，以阻带最小衰减指标进行设计。

$$A = -20\lg 0.001 = 60\text{dB}, \quad \Delta\omega = \omega_s - \omega_p = 0.2\pi$$

- 由于窗函数设计法在幅度间断点处（过渡带）逼近的对称性，因此所对应的理想低通滤波器的截止频率为  $\omega_c = (\omega_s + \omega_p)/2 = 0.5\pi$



## 第II类线性相位系统

- 滤波器的单位冲激响应:

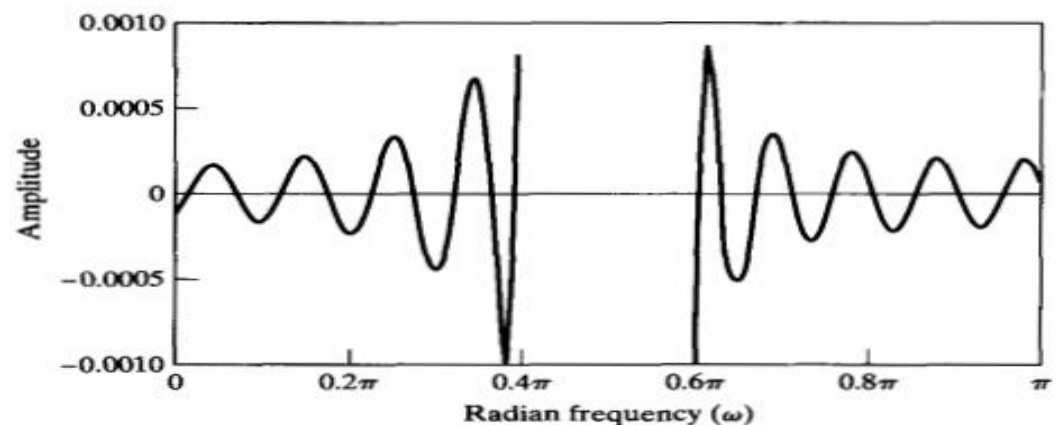
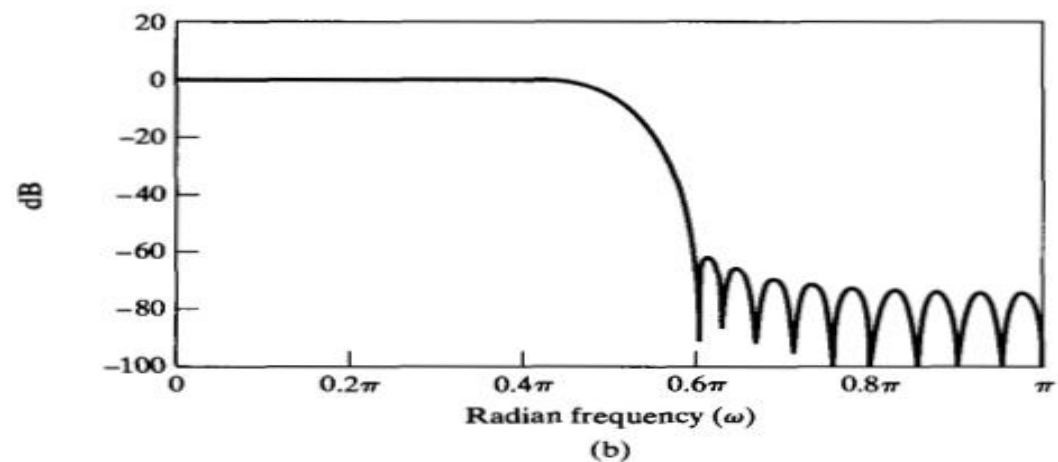
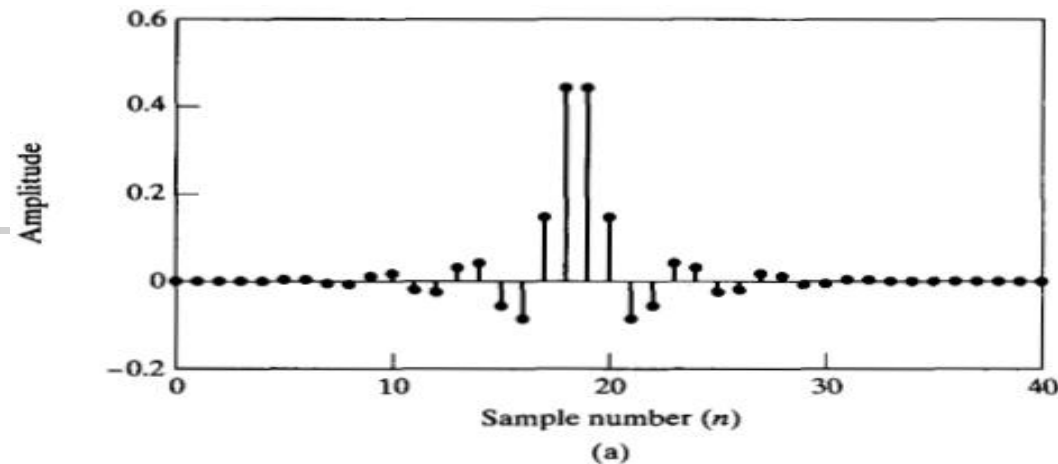
$$h_{hp}[n] = \frac{\sin \omega_c (n - M/2)}{\pi (n - M/2)} \cdot \frac{I_0 \left( \beta \sqrt{1 - \left(1 - \frac{2n}{M}\right)^2} \right)}{I_0(\beta)}$$

- 由凯泽窗设计公式可得:

$$M = \frac{\delta_2 - 7.95}{2.286 \Delta w}$$

$$\beta = \begin{cases} 0.1102 (\delta_2 - 8.7), & \delta_2 \geq 50 \text{ dB} \\ 0.5842 (\delta_2 - 21)^{0.4} + 0.07886 (\delta_2 - 21), & 21 \text{ dB} < \delta_2 < 50 \text{ dB} \\ 0, & \delta_2 \leq 21 \text{ dB} \end{cases}$$

$$\beta = 5.653, \quad M = 36.238 \approx 37$$



# 高通滤波器

$$h_{lp}[n] = \frac{\sin \omega_c (n - M/2)}{\pi (n - M/2)} = \frac{\omega_c}{\pi} \frac{\sin \omega_c (n - M/2)}{\omega_c (n - M/2)}$$

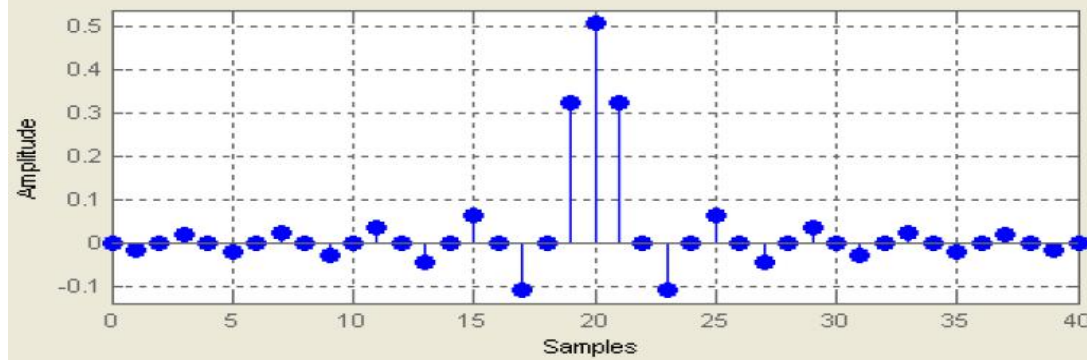
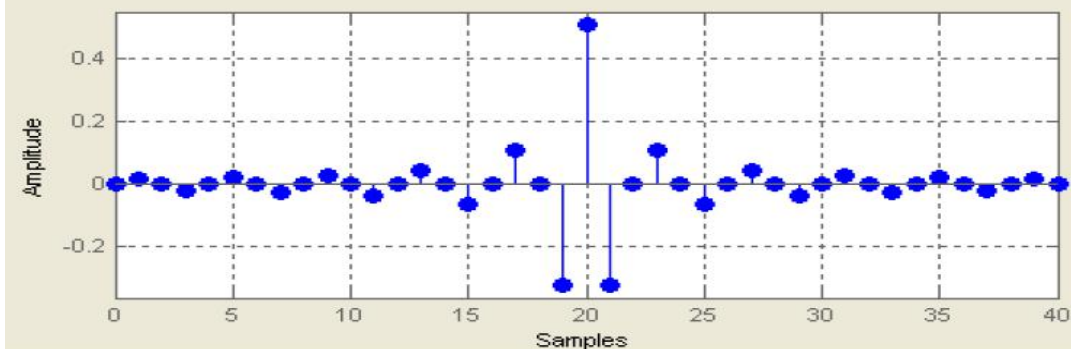
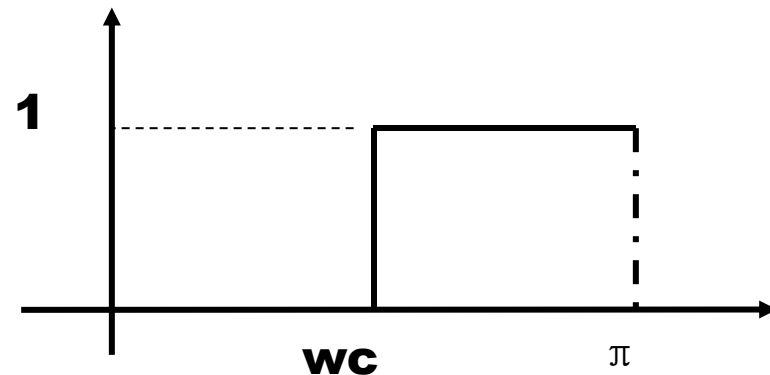
- 理想高通滤波器的频率响应为：

$$H_{hp}(e^{j\omega}) = \begin{cases} 0 & |\omega| < \omega_c \\ e^{-j\omega M/2} & \omega_c < |\omega| \leq \pi \end{cases}$$

- 其单位冲激响应为（**M必须是偶数**）

$$h_{hp}[n] = \frac{\sin \pi (n - M/2)}{\pi (n - M/2)} - \frac{\sin \omega_c (n - M/2)}{\pi (n - M/2)}$$

$$\begin{cases} 1 - \frac{\omega_c}{\pi} & n = a \\ -\frac{\sin \omega_c (n - a)}{\pi (n - a)} & n \neq 0 \end{cases}$$



# 窗函数法设计高通滤波器

- 高通滤波器的技术指标:

$$\left| H_{\text{hp}}(e^{j\omega}) \right| \leq \delta_2, \quad |\omega| < \omega_s$$

$$1 - \delta_1 \leq \left| H_{\text{hp}}(e^{j\omega}) \right| \leq 1 + \delta_1, \quad \omega_p < |\omega| \leq \pi$$

$$\omega_s = 0.35\pi, \omega_p = 0.5\pi, \delta_1 = \delta_2 = 0.021$$

- 根据凯泽窗设计公式可得到:

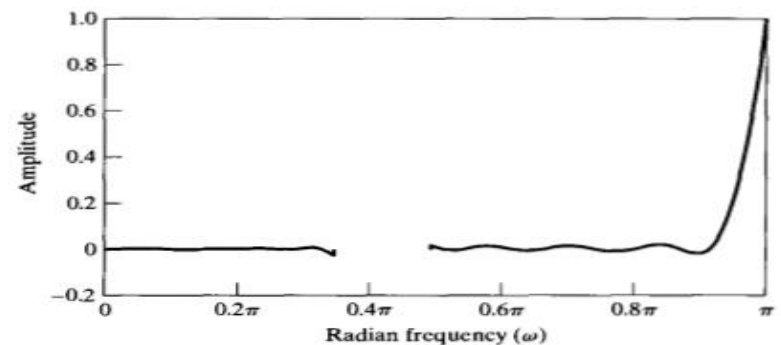
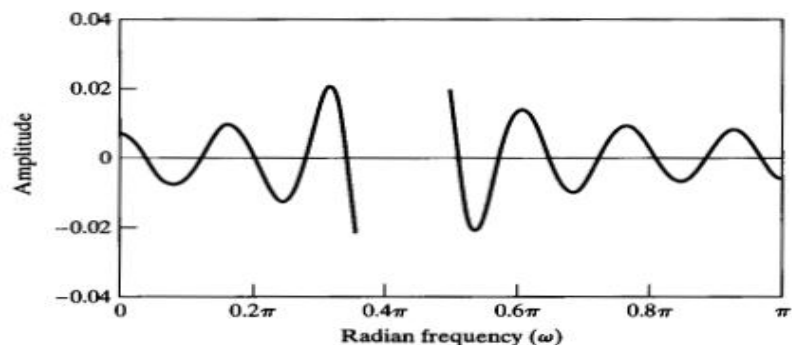
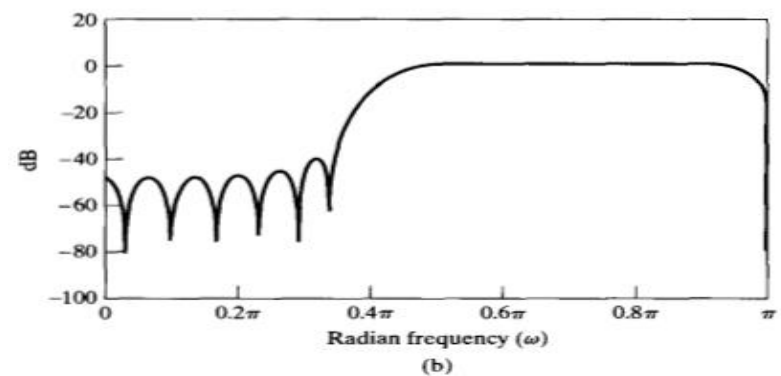
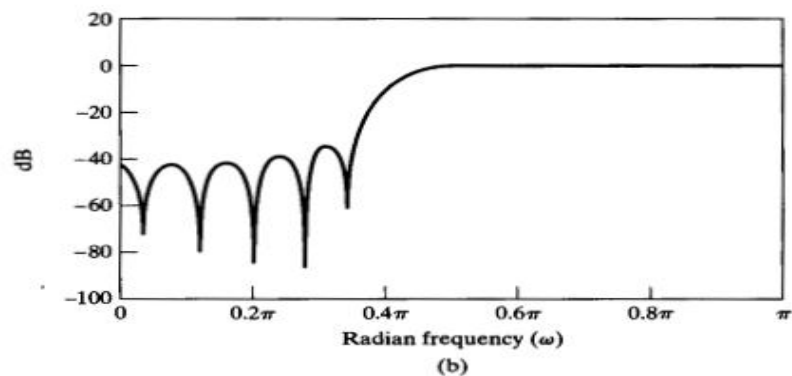
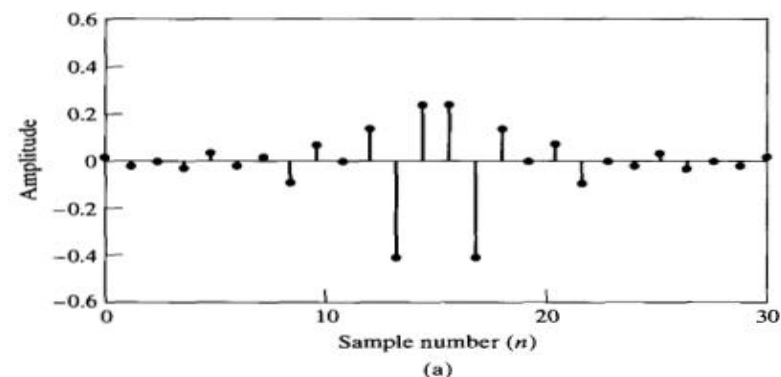
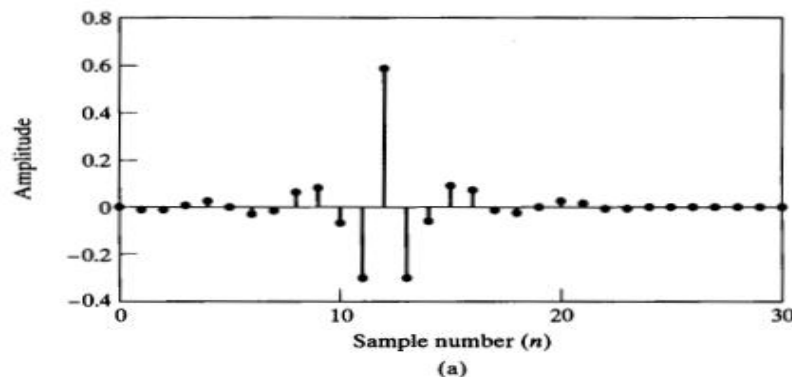
$$\beta = 2.6, M = 24$$

- 由窗函数设计法的对称性可得:

$$\omega_c = (\omega_s + \omega_p)/2 = 0.425\pi$$

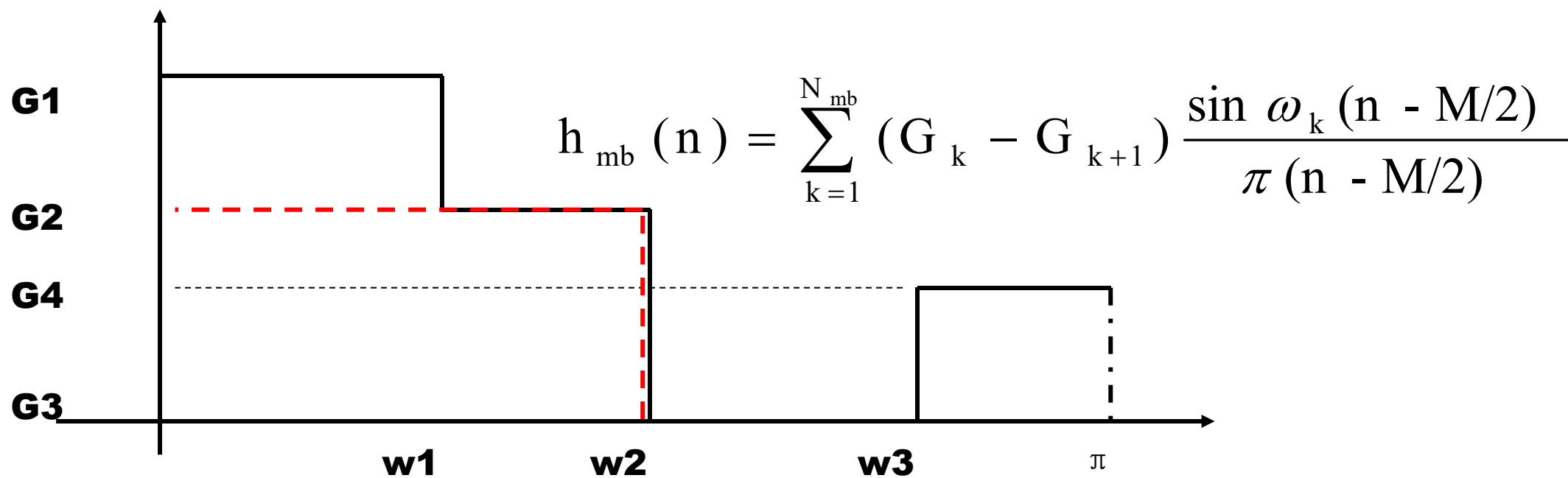
# 第I类线性相位高通滤波器

- 验证计算可得此时的通带逼近误差为0.0213，高于预定指标0.021
- 可以通过增大 $\beta$ 的方法而达到预定指标；也可以保持 $\beta$ 不变，改变 $M$ 。
  - 将 $M$ 增大至25，调整过渡带变窄而满足指标，但此时为II类线性相位系统，在 $\omega = \pi$ 处为零，不适合高通系统。
  - 可以将 $M$ 增大至26就会解决此问题。



# 多通带滤波器设计

$$\varphi(\omega) = e^{-j\omega M/2}$$

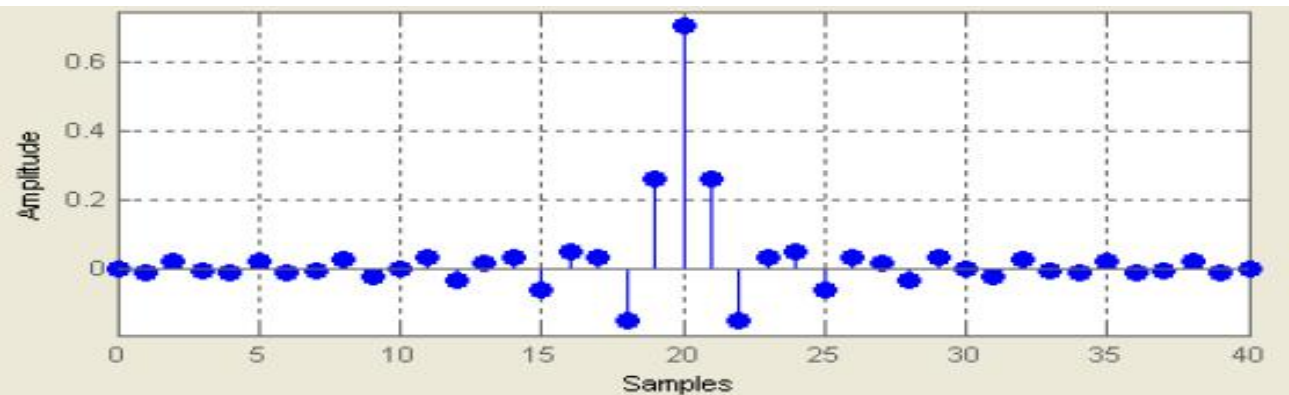


逼近误差与跳变幅度成正比，在设计时需要进行指标的归一化，利用最苛刻的指标进行凯泽窗设计

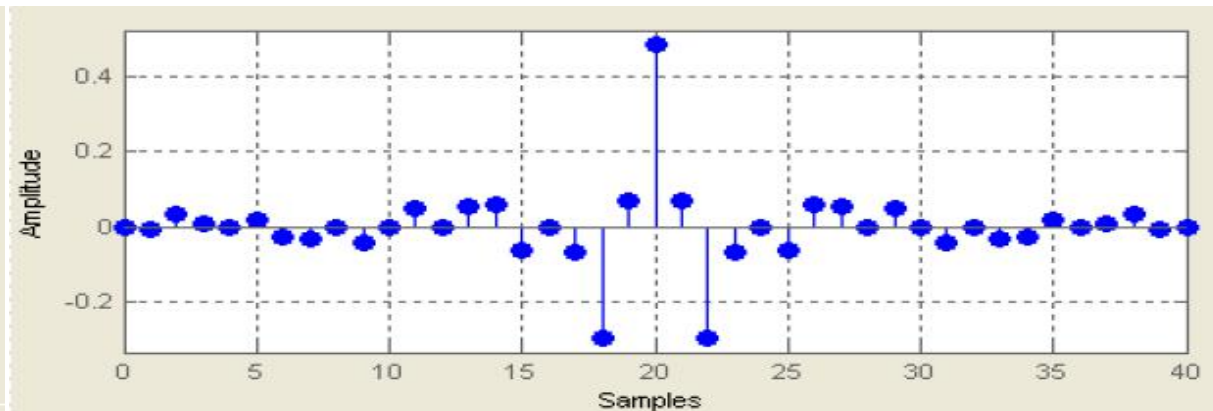


# 带通,带阻滤波器

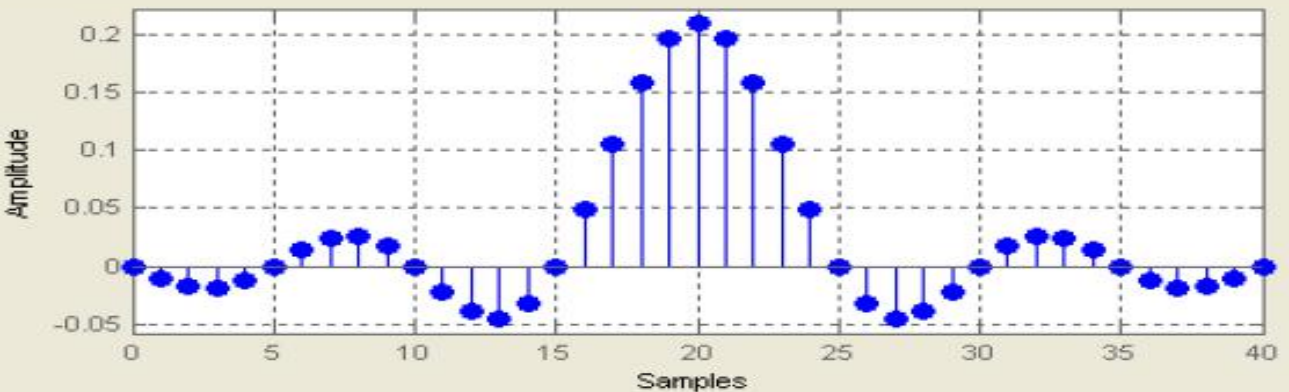
A



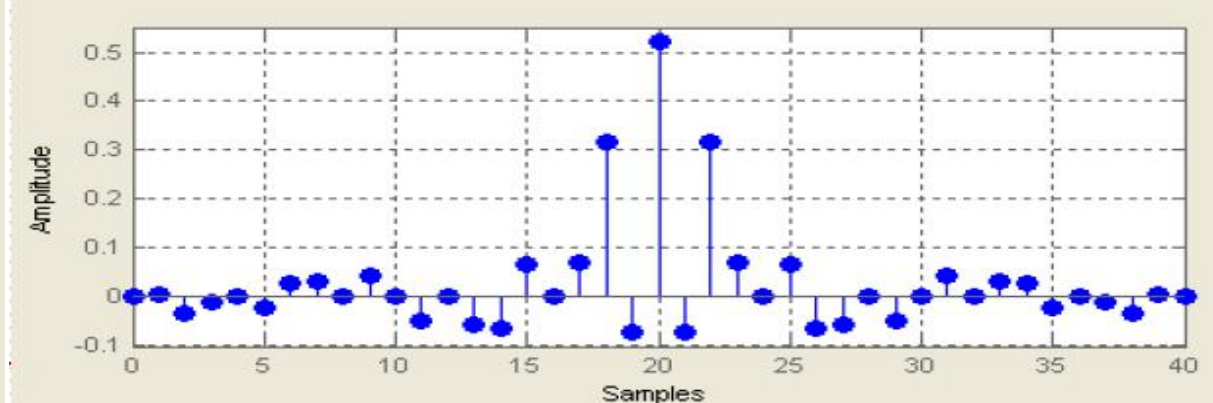
B



C



D



$$A=w1, C=w2, B=A-C, D=\text{全通}-B$$

# 离散时间微分器

- 零相微分器:

$$H_{diff}(\omega) = j\omega$$

$$\begin{aligned} h_d(n) &= \frac{1}{2\pi} \int_{-\pi}^{\pi} j\omega e^{j\omega n} d\omega \\ &= \frac{j}{2\pi} \int_{-\pi}^{\pi} \omega \cos(\omega n) d\omega - \frac{1}{2\pi} \int_{-\pi}^{\pi} \omega \sin(\omega n) d\omega \\ &= -\frac{1}{2\pi} \int_{-\pi}^{\pi} \omega \sin(\omega n) d\omega = -\frac{1}{2\pi n^2} \int_{-n\pi}^{n\pi} x \sin(x) dx \\ &= \begin{cases} (-1)^n \frac{1}{n} & n \neq 0 \\ 0 & n = 0 \end{cases} \end{aligned}$$

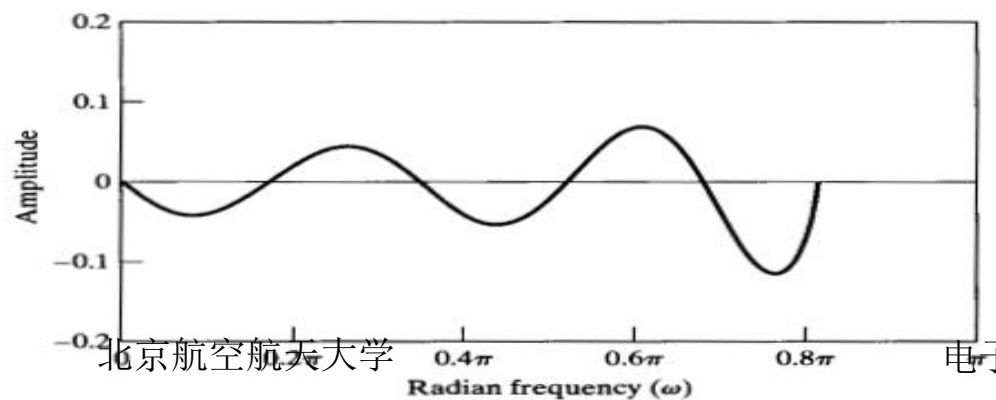
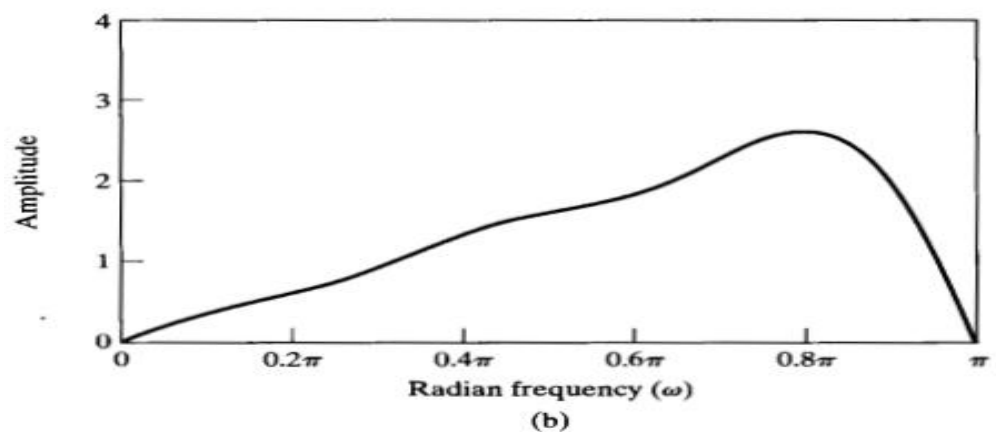
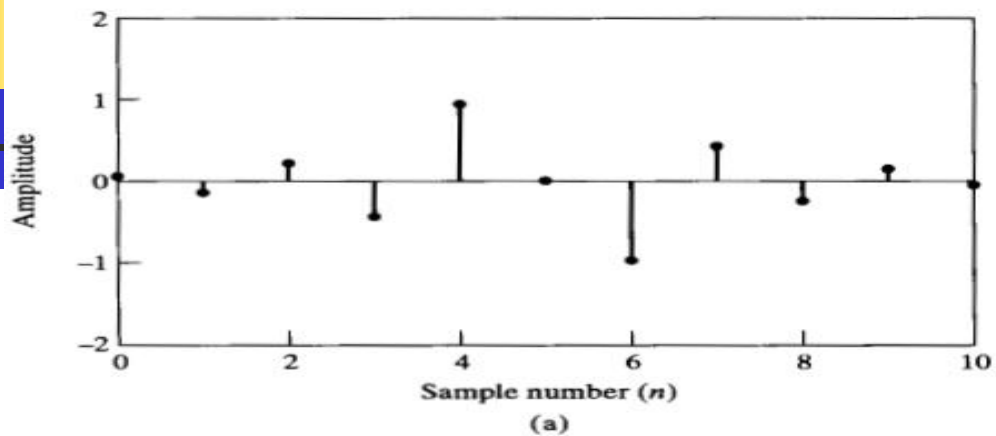
- 理想微分器的频率响应为:

$$H_{diff}(\omega) = (j\omega) e^{-j\omega M/2}$$

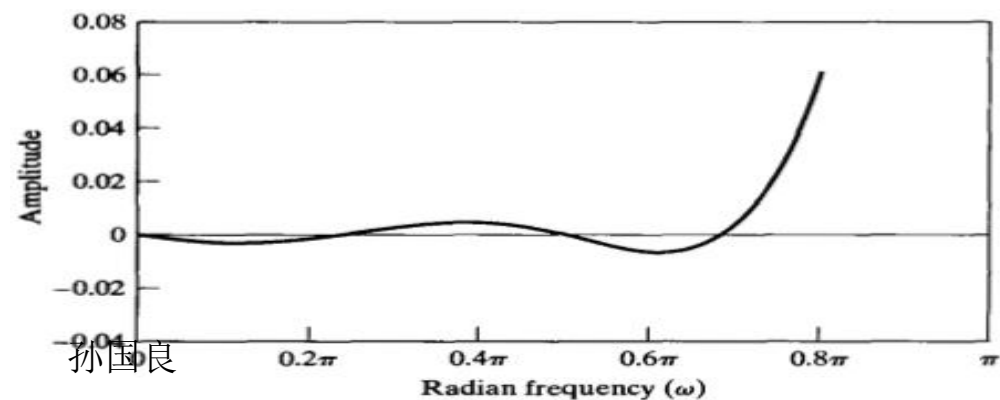
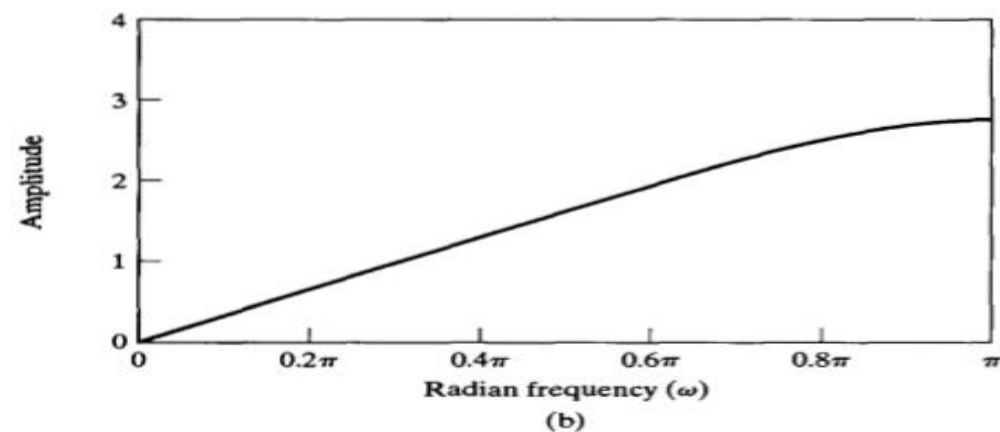
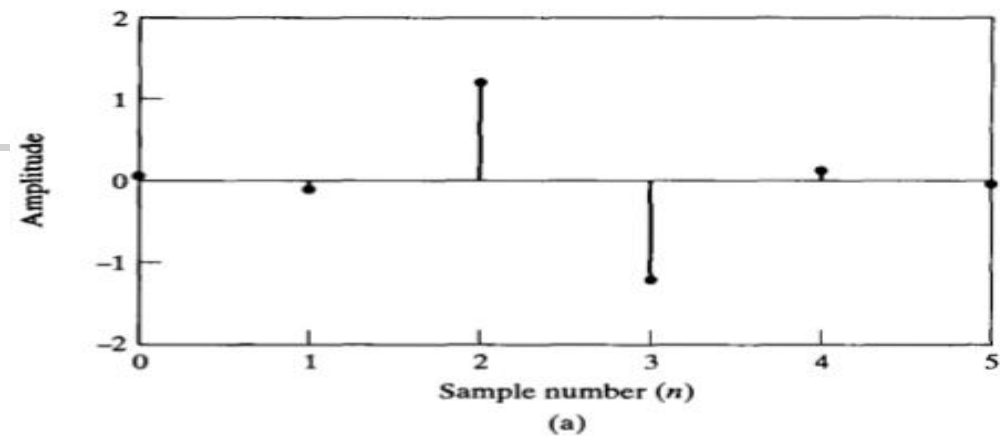
- 其理想冲激响应为:

$$h_{diff}(n) = \frac{\cos \pi (n - M/2)}{(n - M/2)} - \frac{\sin \pi (n - M/2)}{\pi (n - M/2)^2}$$

$M=5, b=2.4$



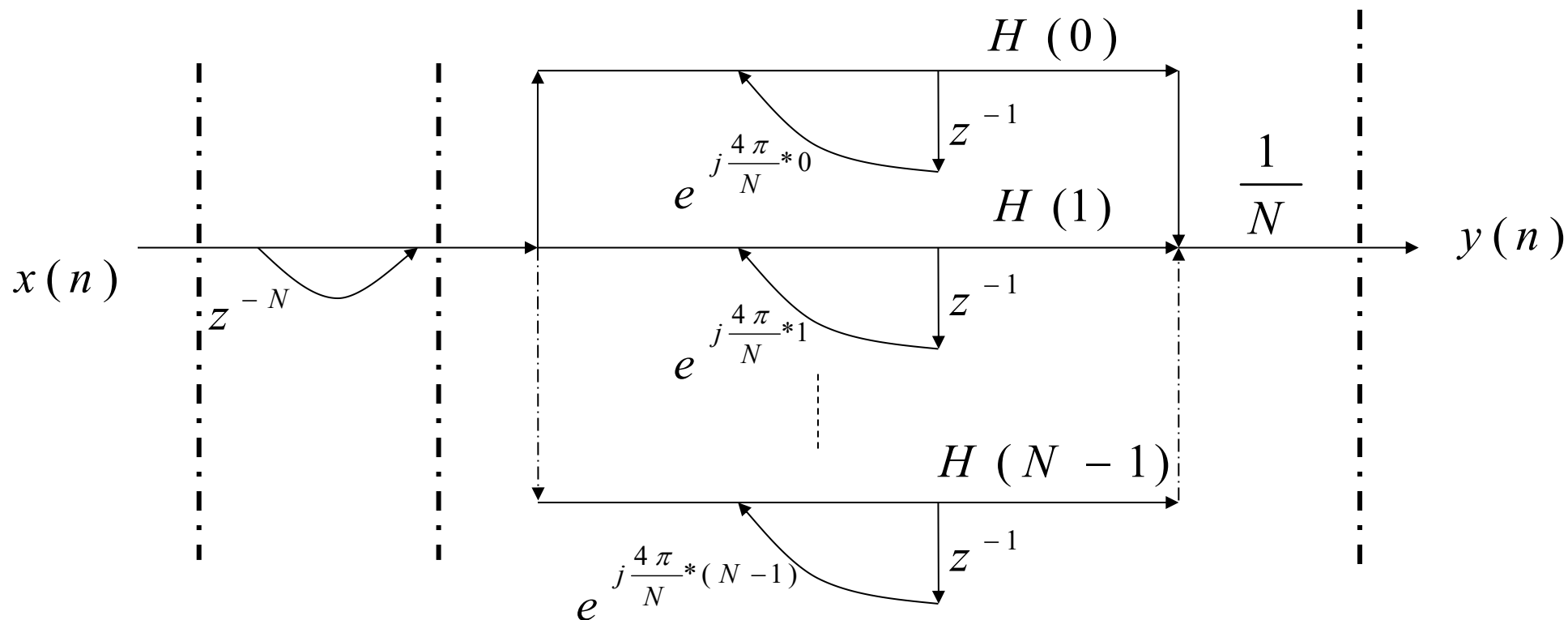
$M=10, b=2.4$



# FIR滤波器---频率抽样设计

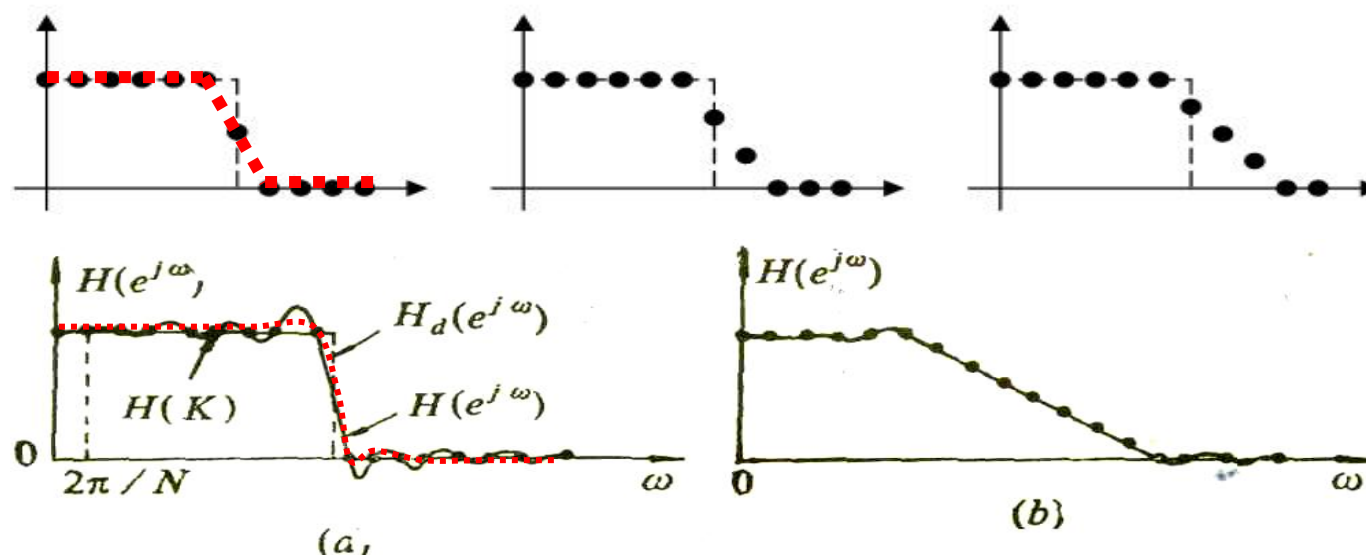
- 频域内插公式:

$$H(z) = \frac{1}{N} \underbrace{(1 - z^{-N})}_{H_c(z)} \sum_{k=0}^{N-1} \underbrace{\left( \frac{H(k)}{1 - e^{j\frac{2\pi}{N}k} z^{-1}} \right)}_{H_K(z)}$$



# 过渡带抽样优化设计

- 频率抽样法**优点**是可以在**频域直接设计**，适合于最优化设计
- 频率抽样点上滤波器实际频率响应和理想频率响应数值相等。
- 抽样点之间的频率响应有一定的逼近误差。逼近误差取决于理想频率响应曲线形状，采样点数等。一般过渡带取二、三点抽样值即可得到满意结果。
- 可以直接由频率内插结构实现,同时由频率内插公式求得频率响应；也可以由 $H(K)$ 求得 $h(n)$ ，从而求取单位冲激响应，并实现滤波器
- 在低通设计中，不加过渡抽样点时，阻带最小衰减为**-20dB**，
  - 一点过渡抽样的**最优**设计，阻带最小衰减可提高到**-40到-54dB**左右，
  - **二点**过渡抽样的最优设计可达**-60dB到-75dB**左右，
  - 三点过渡抽样的最优设计则可达**-80dB到-95dB**左右。



# 频率抽样法设计低通滤波器

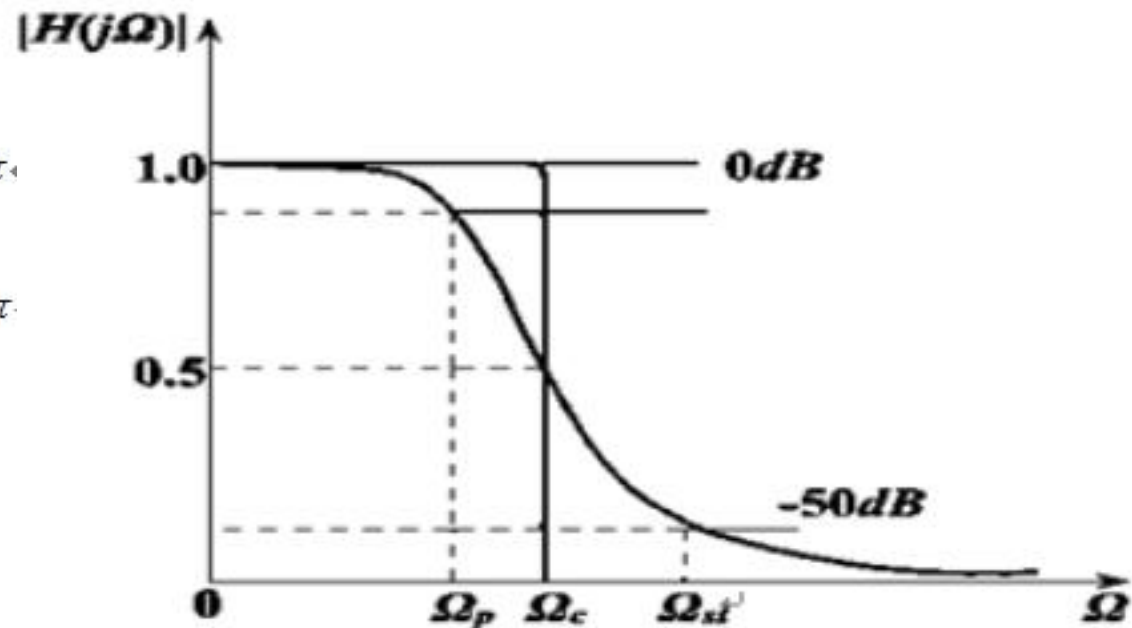
- FIR低通滤波器，希望在采样频率为15kHz，其通带截至频率为1.6kHz，阻带起始频率为3.1kHz，通带波纹小于1db，阻带衰减大于50db。

通带的截止频率为  $\omega_p = \frac{\Omega_p}{f_s} = 2\pi \frac{\Omega_p}{\Omega_s} = 2\pi \times \frac{2\pi \times 1.6 \times 10^3}{2\pi \times 1.5 \times 10^4} = 0.213\pi$

阻带的起始频率为  $\omega_{st} = \frac{\Omega_{st}}{f_s} = 2\pi \frac{\Omega_{st}}{\Omega_s} = 2\pi \times \frac{2\pi \times 3.1 \times 10^3}{2\pi \times 1.5 \times 10^4} = 0.413\pi$

理想低通截止频率  $\Omega_c = \frac{1}{2}(\Omega_p + \Omega_{st}) = 2\pi \times 2.35 \times 10^3 \text{ (rad/sec)}$

其对应的数字频率  $\omega_c = 2\pi \frac{\Omega_c}{\Omega_s} = 2\pi \times \frac{2\pi \times 2.35 \times 10^3}{2\pi \times 1.5 \times 10^4} = 0.313\pi$





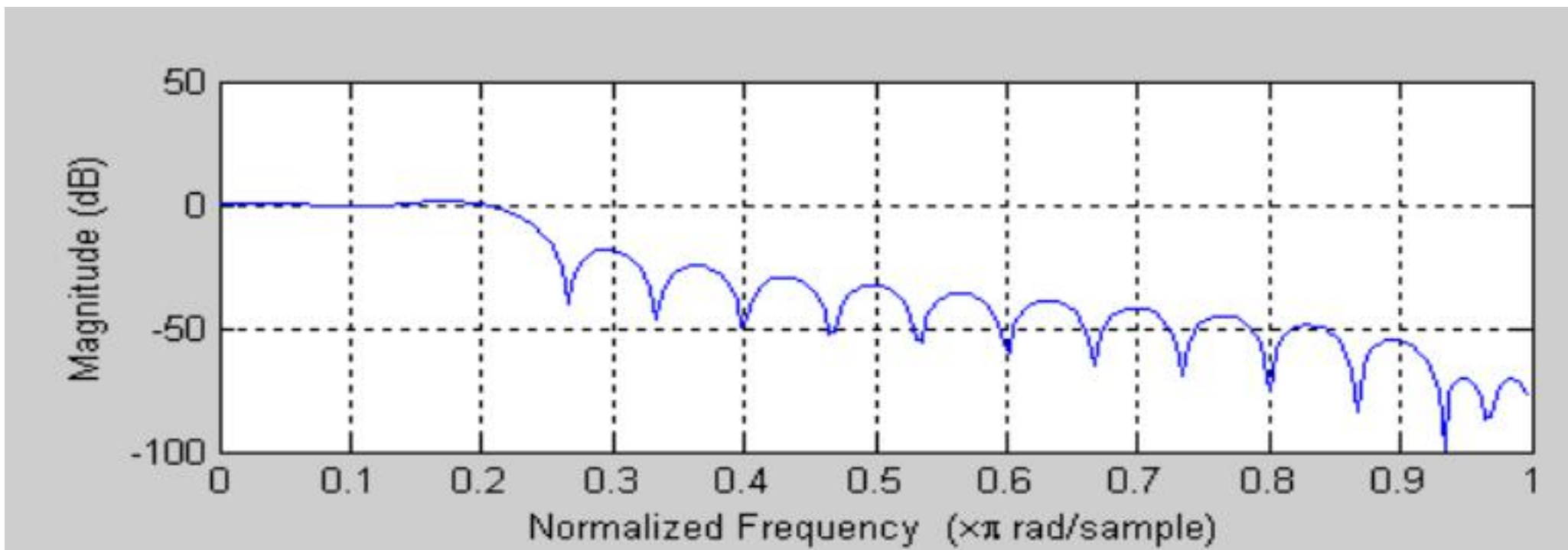
# 频率抽样 N=30

$$w_p = \frac{\Omega_p}{f_s} = 2\pi \frac{\Omega_p}{\Omega_s} = 2\pi \times \frac{2\pi \times 1.6 \times 10^3}{2\pi \times 1.5 \times 10^4} = 0.213\pi$$

$$w_{st} = \frac{\Omega_{st}}{f_s} = 2\pi \frac{\Omega_{st}}{\Omega_s} = 2\pi \times \frac{2\pi \times 3.1 \times 10^3}{2\pi \times 1.5 \times 10^4} = 0.413\pi$$

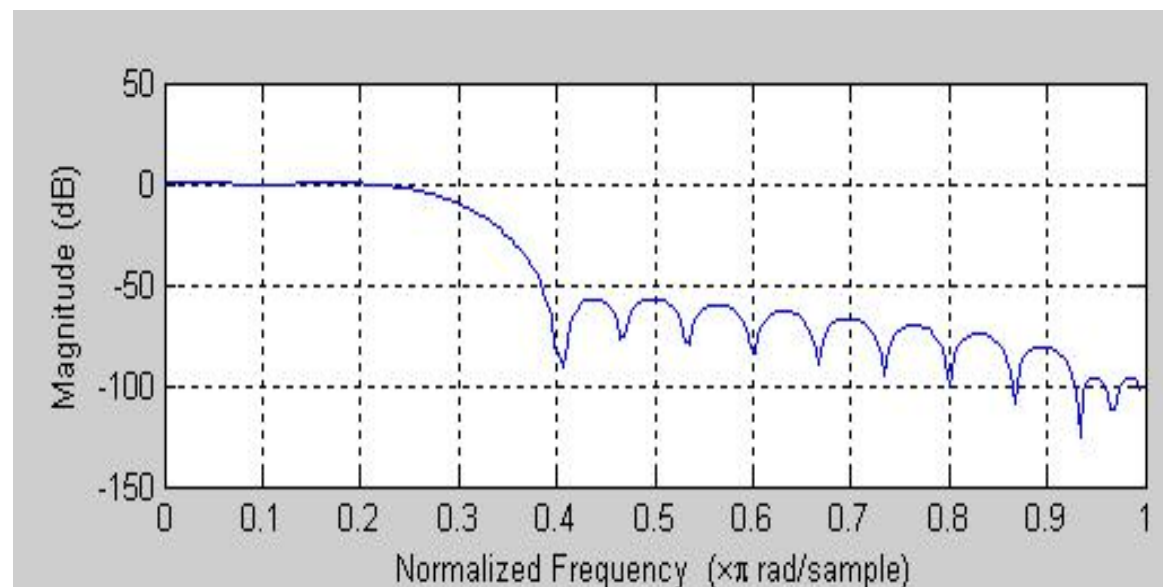
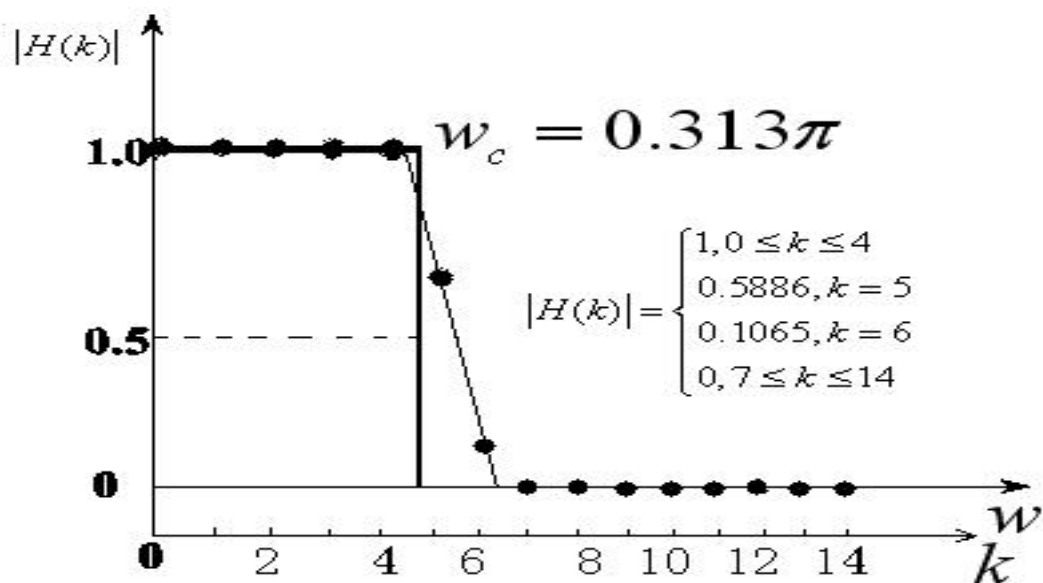
$$\sigma_2 \geq 50 \text{ dB}$$

$$|H(k)| = \begin{cases} 1 & 0 \leq k \leq \text{Int}\left[\frac{N\omega_c}{2\pi}\right] = 4 \\ 0 & 5 \leq k \leq \frac{N-1}{2} = 14 \end{cases} \quad H(e^{j\omega}) = e^{-j14.5\omega} \left\{ \frac{\sin\left(\frac{30\omega}{2}\right)}{30 \sin\left(\frac{\omega}{2}\right)} + \sum_{k=1}^4 \left[ \frac{\sin\left[30\left(\frac{\omega}{2} - \frac{k\pi}{30}\right)\right]}{30 \sin\left(\frac{\omega}{2} - \frac{k\pi}{30}\right)} + \frac{\sin\left[30\left(\frac{\omega}{2} + \frac{k\pi}{30}\right)\right]}{30 \sin\left(\frac{\omega}{2} + \frac{k\pi}{30}\right)} \right] \right\}$$



# 过渡点优化

- 为改善频率特性，以满足指标要求，在通带和阻带交界处安排一个或者几个不等于1的抽样值。
- 此处令： $|H(5)| = 0.5886$        $|H(6)| = 0.1065$



- 优化后最小阻带衰减约为-60dB左右





# 频率抽样法设计步骤

- (1) 确定性能要求和滤波器阶数 $N=2\pi/\Delta\omega$ 。
- (2) 根据要求, 确定理想频率响应的幅度和相位。
- (3) 对频率响应在 $0\sim 2\pi$ 区间等间隔取样, 得到 $H(k)$ 。
- (4) 根据内插公式, 求出 $H(z)$ 的幅频特性曲线。
- (5) 检查幅频特性是否满足性能要求, 若不满足, 可调整过渡带取样点值, 重复第(2)步, 直到满足条件为止。
- (6) 可以直接用频率抽样结构实现滤波器, 也可以对 $H(k)$ 作IDFT求得 $h(k)$ 后选择合适结构实现。

# 作业:

- 7.5
- 7.15
- 7.16
- 7.33





# 谢 谢

-----● 授课教师：孙国良 ●-----

Email: [mrsgl@buaa.edu.cn](mailto:mrsgl@buaa.edu.cn)